

Fertilizantes

Nome: Matheus Amaral Moes

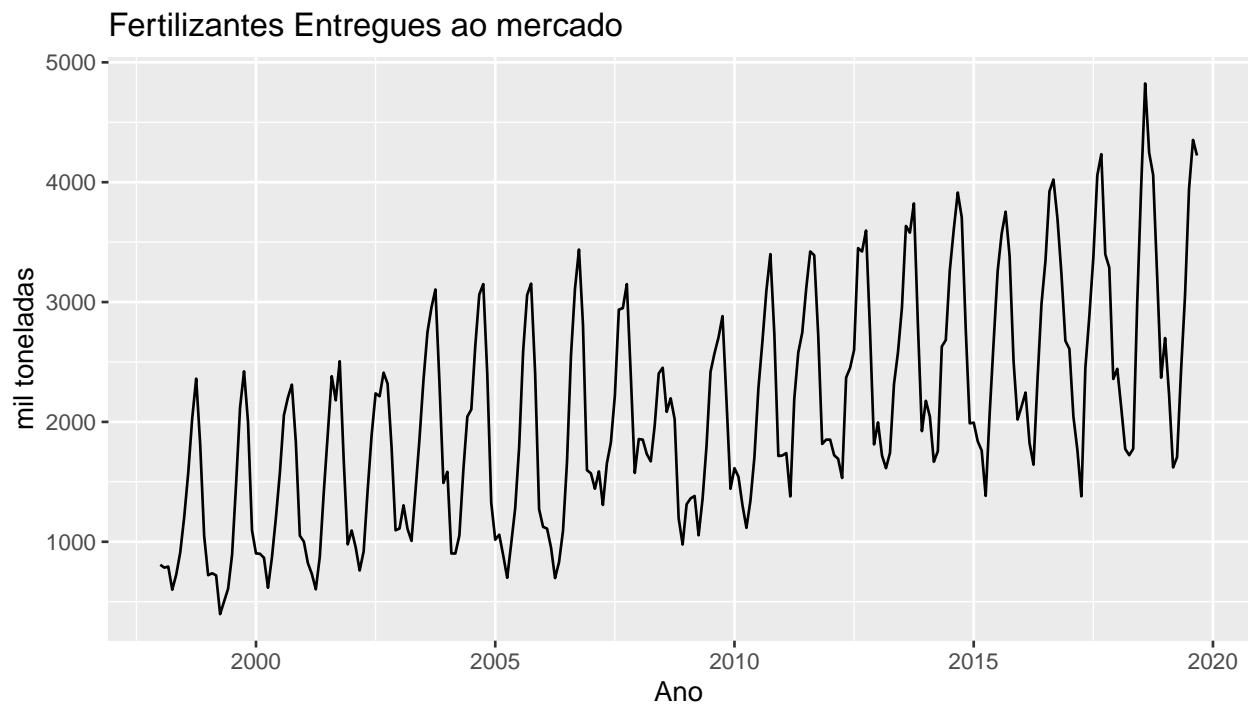
Disciplina: Análise de Séries Temporais

Professor: Alvaro Villarinho

Matrícula:

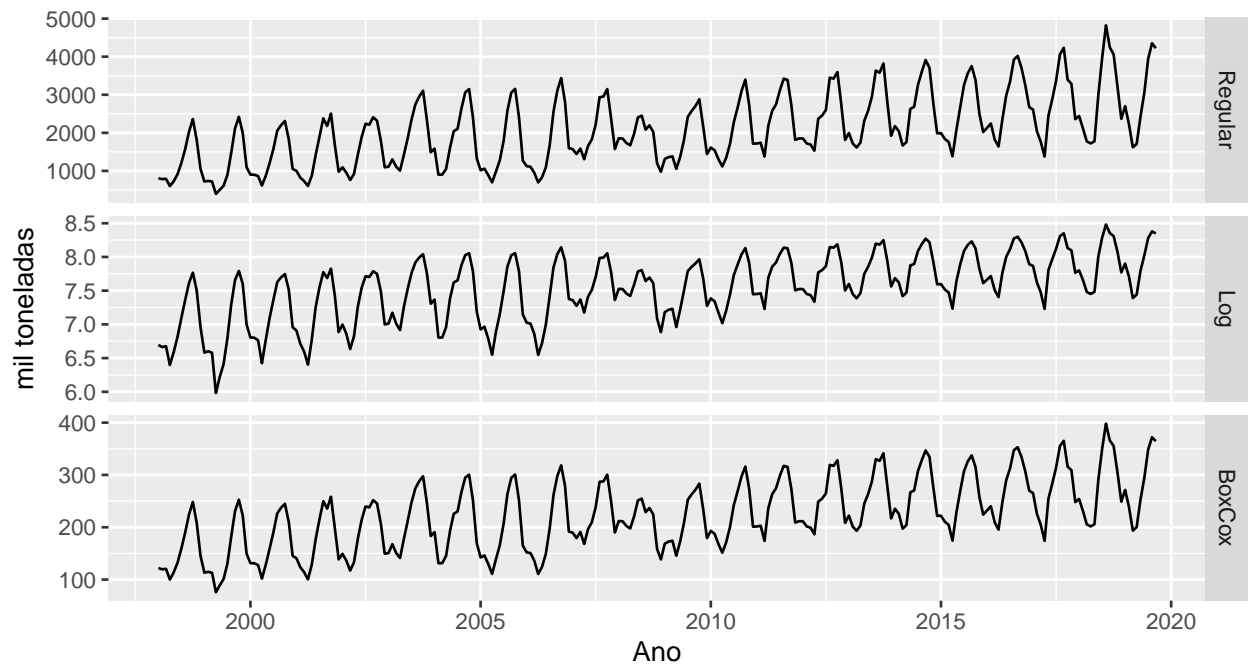
Análise exploratória

O conjunto de dados possui a quantidade de fertilizantes entregues mensalmente em uma série temporal de 1998 a Setembro de 2019. O volume de fertilizantes na série é sazonal com frequência anual, atingindo o pico todos os anos nos meses de Setembro e Outubro, como é possível notar no gráfico a seguir. É de se notar que a série possui um aumento na amplitude da sazonalidade, indicando uma serie multiplicativa, e uma tendência de aumento no nível ao longo de toda sua duração dois fatos que podem ser melhor observados na decomposição da série posteriormente.



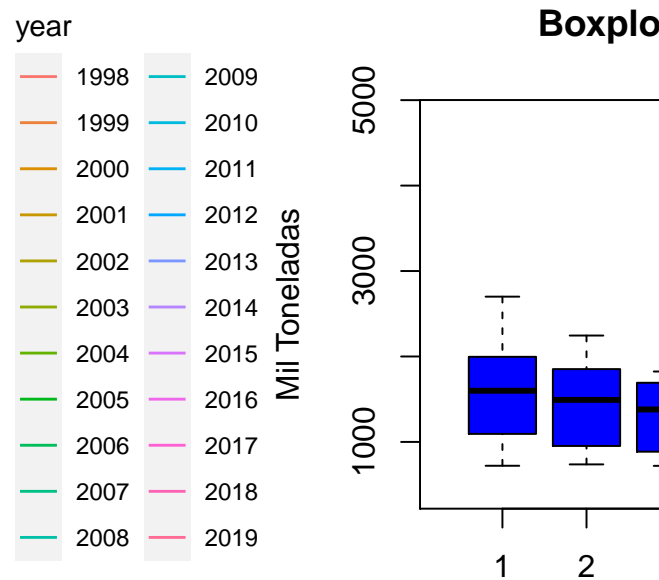
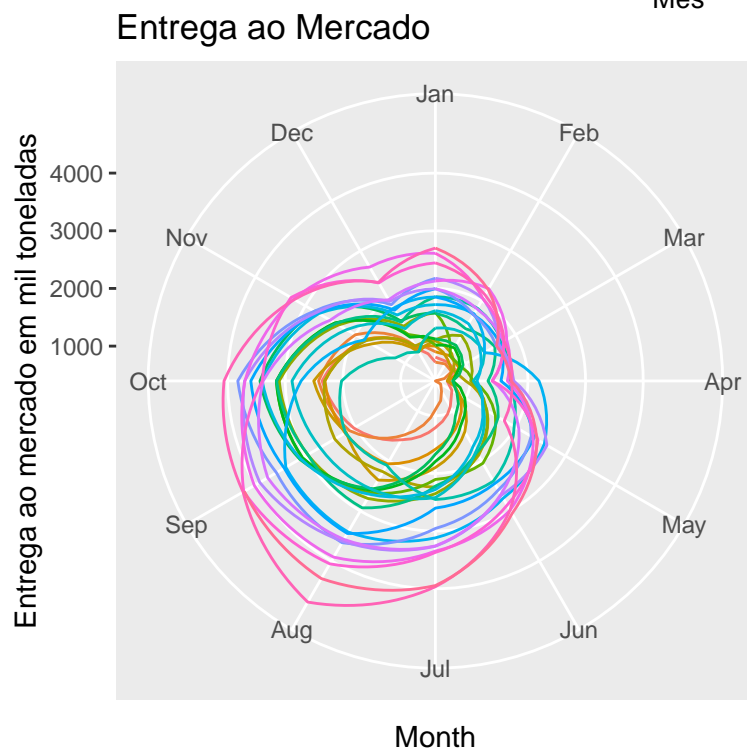
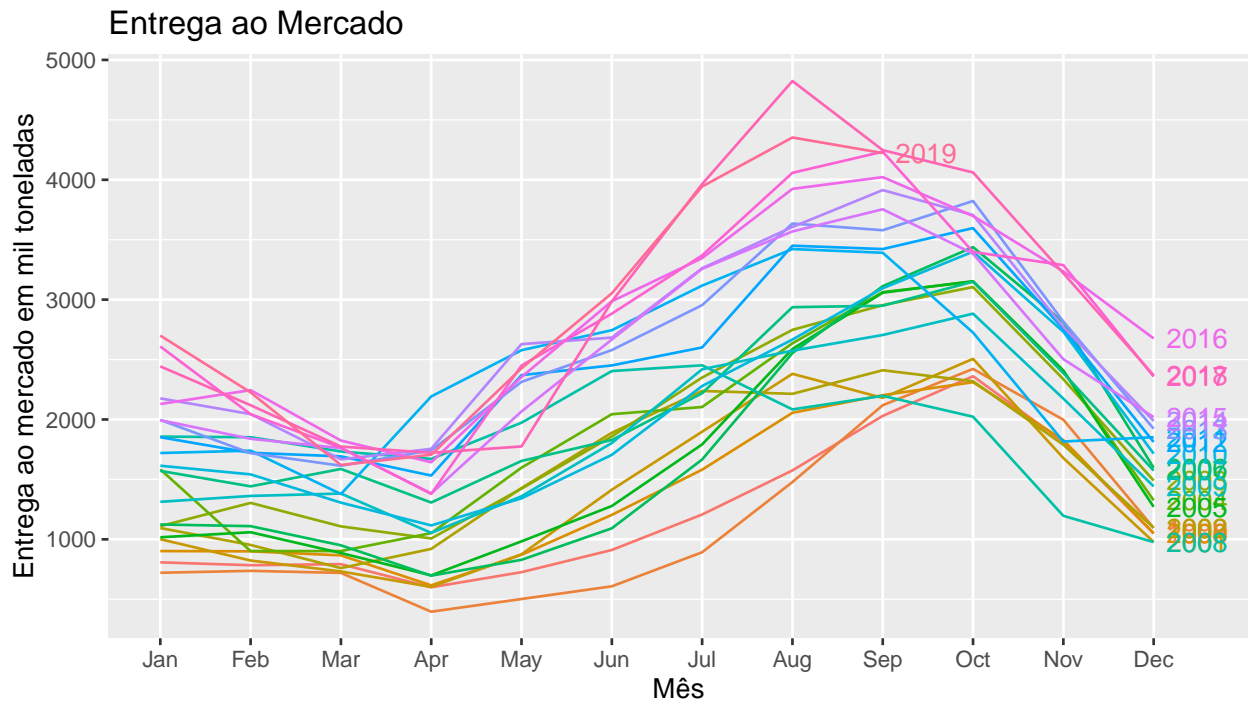
Transformações

Realizando transformacoes BoxCox e Logarítmica utilizando a base natural dois resultados são observados. Na transformação Logarítmica a amplitude da serie diminui ao longo do tempo e na transformacao BoxCox a amplitude se manteve estavel ao longo do periodo indicando que a transformação mais adequada para a série é a BoxCox.



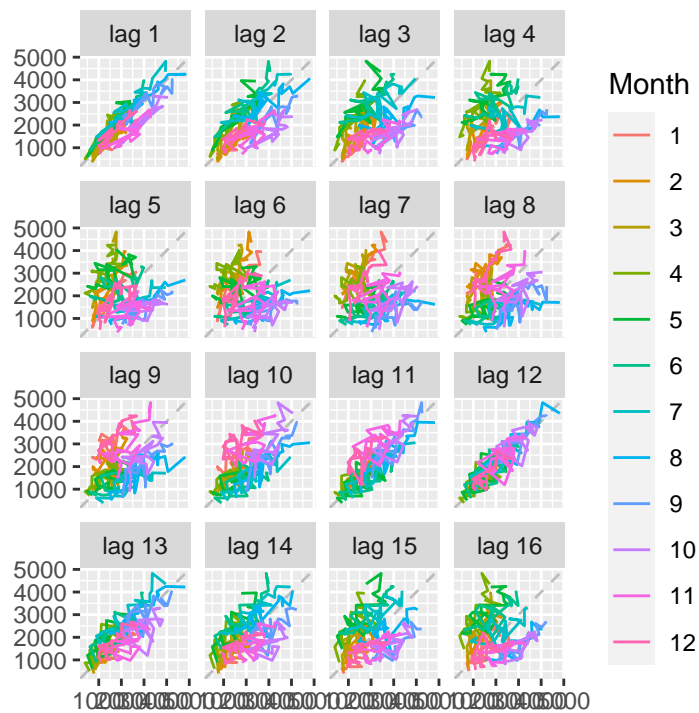
Seasonal Plot

Com o Seasonal Plot é possível ver com maior clareza a sazonalidade da série e a forma como o pico se concentra entre os meses de Agosto e Outubro e o momento de maior baixa entre os meses de Fevereiro e Abril.



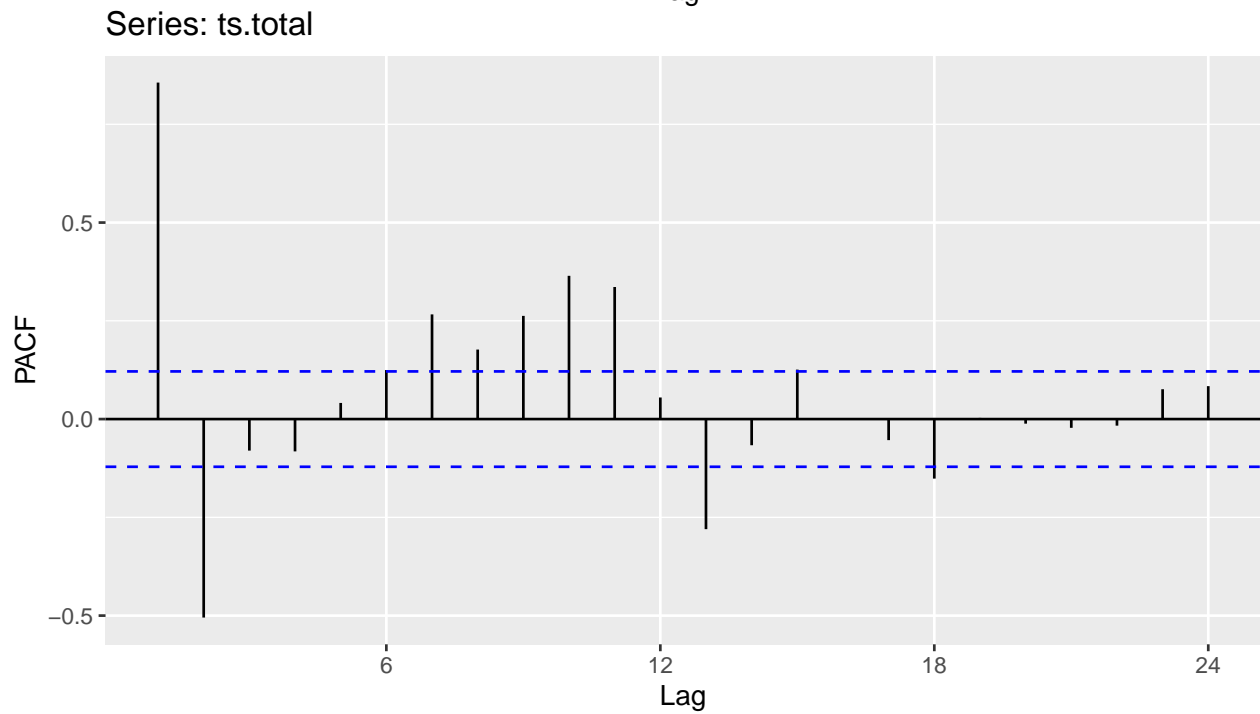
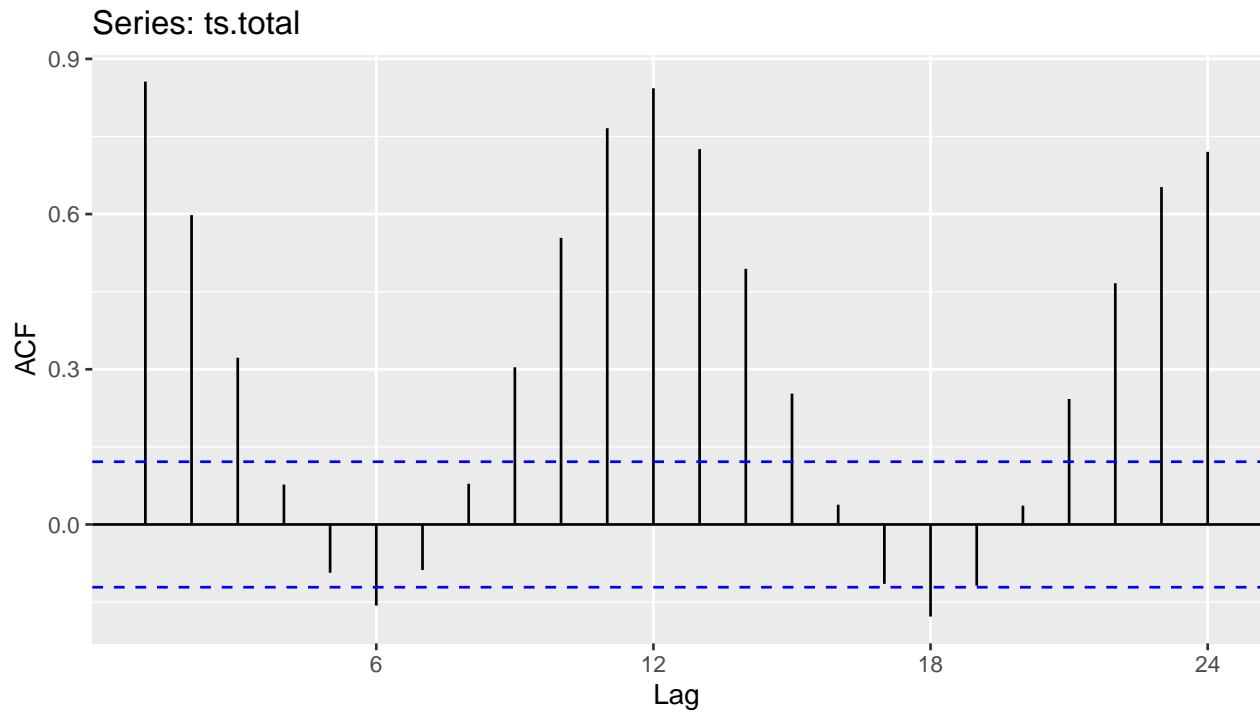
Lag Plot

A visao do Lag Plot da serie corrobora com a visao inicial de que a serie possui uma sazonalidade de 12 meses, uma vez que o valor de lag para 12 meses apresenta os menores valores no lag plot.



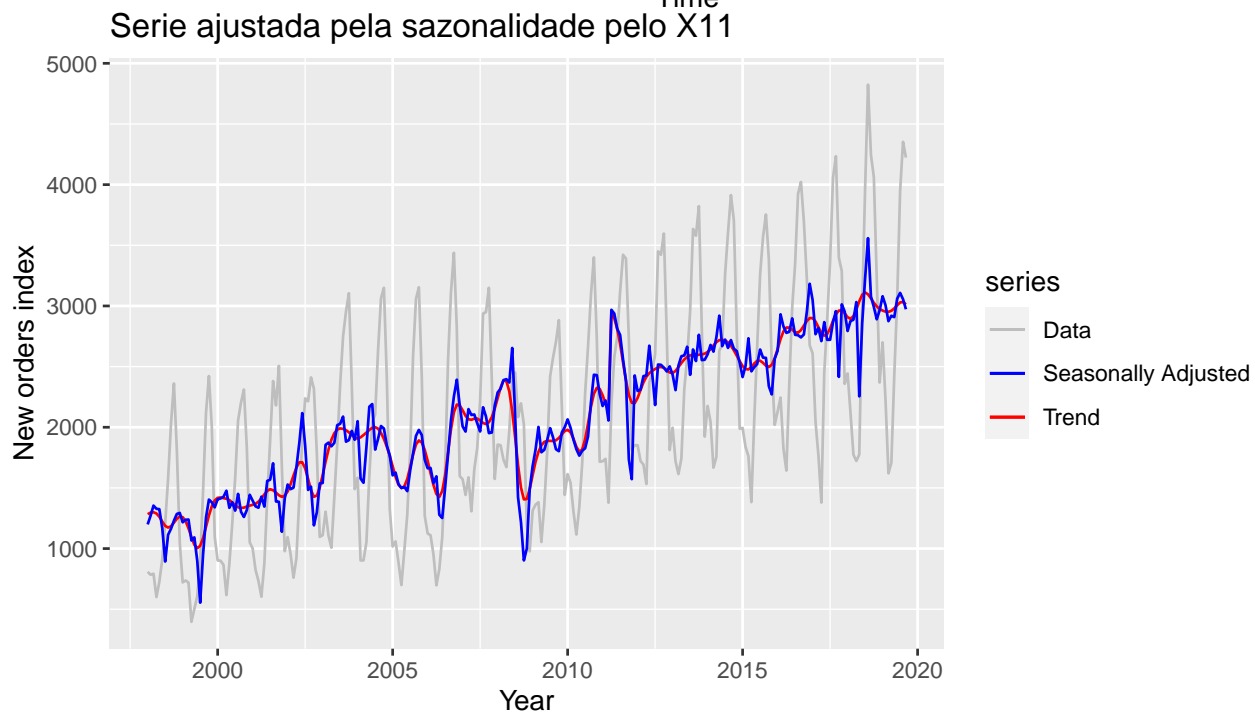
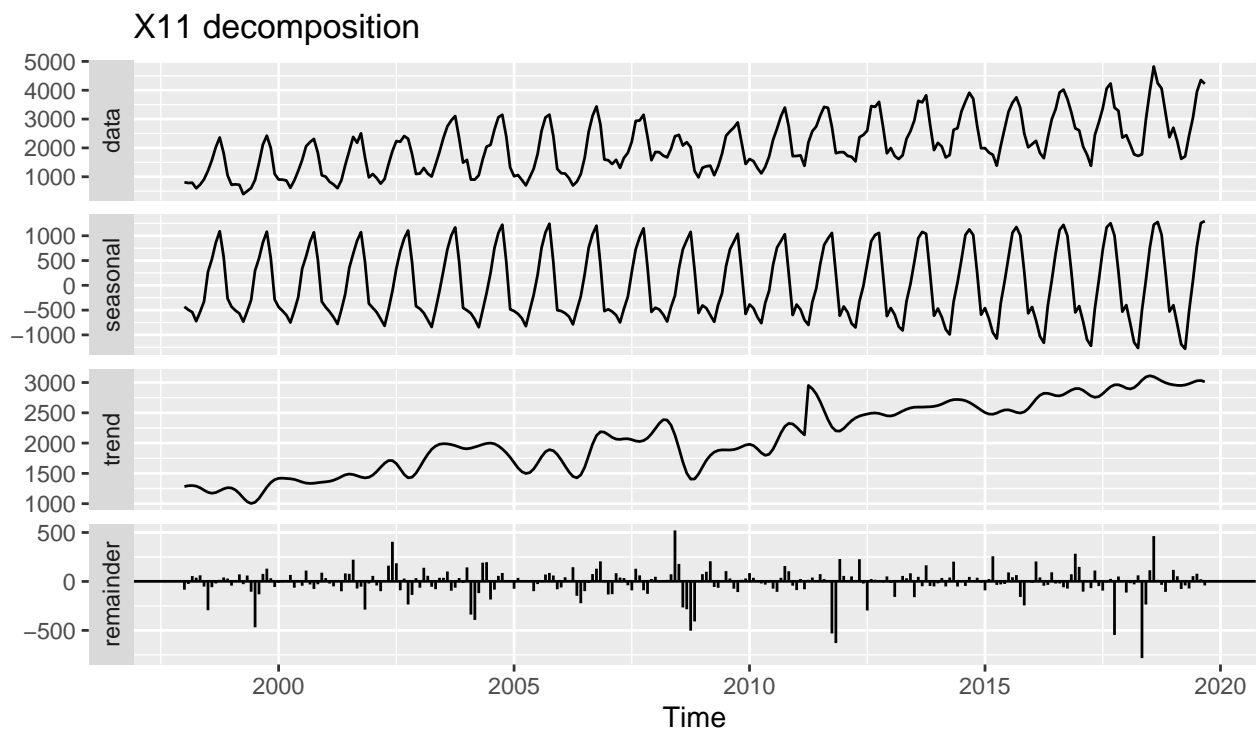
Auto Correlation Function (AFC) e Partial Auto Correlation Function (PACF)

Observando a função de autocorrelação da série podemos observar que o maior valor de correlação ocorre para um lag de 12 meses, reforçando a visão de que a série possui uma sazonalidade de 12 meses.



Decomposição

Após a decomposicao da série em sazonalidade, tendencia e residuos alguns pontos observados anteriormente ficam mais claros. O primeiro deles é o aumento de amplitude na série ao longo do tempo, o segundo é o aumento no nível da série ao longo do tempo, partindo de um patamar inferior a 1.500 e chegando a um patamar de 3.000 ao fim da série.



Teste Unitário

Realizando o teste unitário da série temporal 2,6 no teste de hipótese indicando que a série é não estacionária.

```
#####
# KPSS Unit Root Test #
#####
```

Test is of type: mu with 5 lags.

Value of test-statistic is: 2.6176

Critical value for a significance level of:

	10pct	5pct	2.5pct	1pct
critical values	0.347	0.463	0.574	0.739

Utilizando o algoritmo fornecido pelo programa R para determinar o número de diferenciações necessárias para atingir a estacionariedade chega-se a conclusão de que é necessária uma diferenciação para atingir a estacionariedade da série. Realizando o teste unitário após uma diferenciação é obtido um p-value de 0,011 indicando que de fato ocorre a estacionariedade após uma diferenciação, essa característica indica que em um modelo ARIMA provavelmente será necessário um modelo com uma diferenciação.

```
[1] "Diferenciações para estacionariedade:"
```

```
[1] 1
```

```
#####  
# KPSS Unit Root Test #  
#####
```

Test is of type: mu with 5 lags.

Value of test-statistic is: 0.0111

Critical value for a significance level of:

	10pct	5pct	2.5pct	1pct
critical values	0.347	0.463	0.574	0.739

Modelo

Tanto de acordo com as métricas de erro simple como erro médio quadrado (RMSE) e com o critério de Akaike (AICc) o modelo mais adequado foi o modelo ARIMA com sazonalidade e por isso esse foi o modelo adotado. Também tiveram resultados muito positivos os modelos de regressão linear utilizando Dummies e o modelo de regressão utilizando a transformada de Fourier. Outro ponto a ser destacado é a alta correlação observada nos modelos que não consideram sazonalidade como Suavização Exponencial, Holt e ARIMA não sazonal, indicando que esses modelos não foram capazes de captar adequadamente as variações na série temporal.

Series: ts.train

ARIMA(1,0,1)(0,1,2)[12] with drift

Coefficients:

	ar1	ma1	sma1	sma2	drift
	0.6276	0.1693	-0.6984	-0.1545	0.5351
s.e.	0.0713	0.0916	0.0796	0.0781	0.0669

sigma^2 estimated as 273.9: log likelihood=-968.35

AIC=1948.69 AICc=1949.07 BIC=1969.27

Training set error measures:

	ME	RMSE	MAE	MPE	MAPE	MASE
Training set	0.08641124	15.95277	11.6103	-0.3792579	5.795372	0.5357892
ACF1						

Training set 0.008179276

	ME	RMSE	MAE	MPE	MAPE	MASE	ACF1
Naive	35,0	74,4	59,8	7,5	19,6	2,8	0,8
Naïve Sazonal	9,0	22,5	16,4	2,6	6,0	0,8	-0,2
Drift	29,2	71,0	57,9	5,4	19,4	2,7	0,8
Suavização Exponencial	35,0	74,4	59,8	7,5	19,6	2,8	0,8
Holt	290,3	319,8	290,3	99,9	99,9	13,4	0,8
Holt Winther Aditivo	1,0	25,1	19,1	-1,4	7,2	0,9	0,5
Holt Winther Multiplicativo	-25,2	32,3	26,9	-9,7	10,1	1,2	0,2
Dummy	-1,2	22,4	17,2	-2,0	6,6	0,5	0,6
Fourier	-1,2	22,4	17,2	-2,0	6,6	0,5	0,6
ARIMA	65,3	92,6	73,2	18,8	22,7	3,4	0,8
Seasonal ARIMA	-0,7	22,0	15,8	-1,8	6,1	0,7	0,4

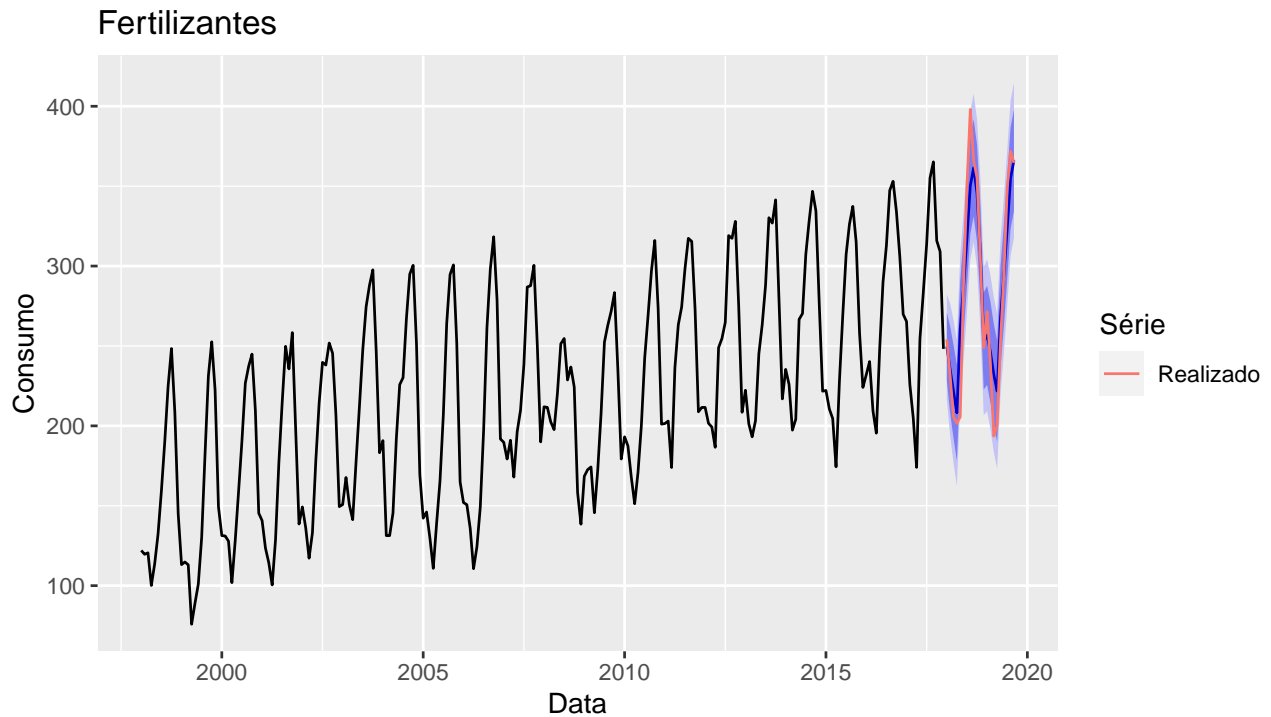
Figure 1: resultados

	AIC	AICc	BIC
Suavização Exponencial	3.005,39	3.005,49	3.015,83
Holt	3.003,28	3.003,38	3.013,72
Holt Winther Aditivo	2.714,29	2.714,29	2.773,46
Holt Winther Multiplicativo	2.757,70	2.760,46	2.816,87
Dummy	2.399,14		
Fourier	2.399,14		
ARIMA	2.311,60	2.311,65	2.318,56
Seasonal ARIMA	1.948,69	1.949,07	1.969,27

Figure 2: AIC

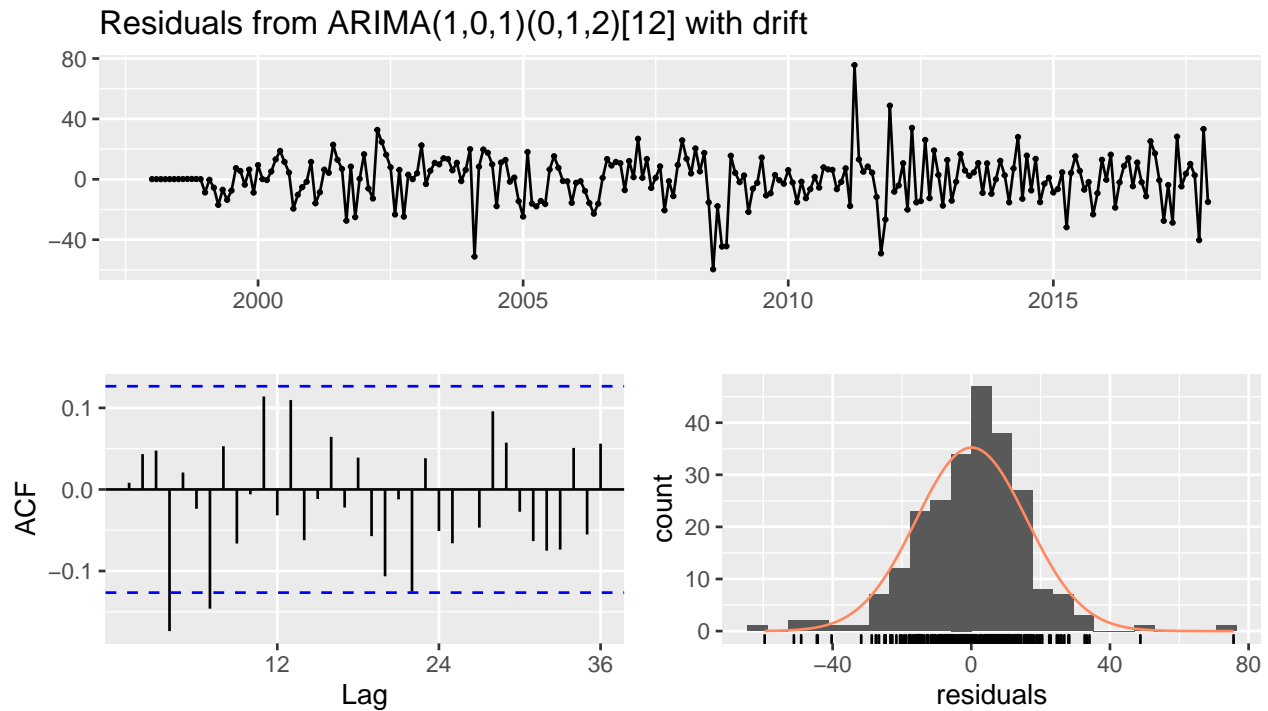
Previsões

Alta aderência das previsões com baixo erro médio quadrado e pode ser visto visualmente também pela proximidade dos dados projetados e os dados realizados.



Resíduos

O teste de Portmanteau indica que os resíduos da série não possuem autocorrelação, fato que também é reforçado pelos baixos valores encontrados na função de autocorrelação.



Ljung-Box test

data: Residuals from ARIMA(1,0,1)(0,1,2)[12] with drift
 Q* = 34.256, df = 19, p-value = 0.01714

Model df: 5. Total lags used: 24

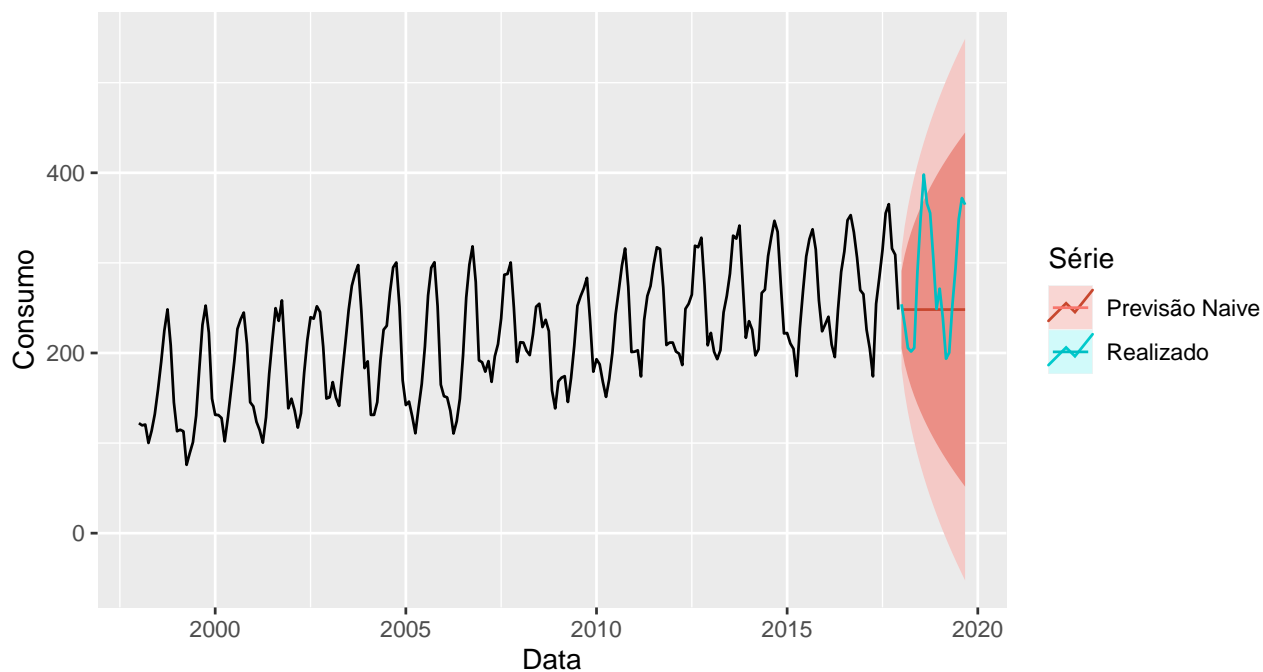
Conclusão

Os métricas calculadas mostram que o modelo de ARIMA com sazonalidade é adequado para realização de previsões na série de tempo utilizada. Além do modelo ARIMA outros modelos também se mostraram adequados para a série em questão, principalmente os modelos de regressão utilizando Dummies e o modelo de regressão utilizando a transformada de Fourier. Foi possível notar também que modelos que não levam a sazonalidade em consideração não foram adequados para modelar o problema dado a sazonalidade da série temporal utilizada.

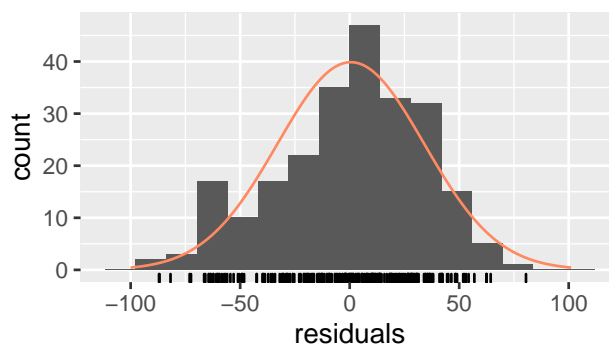
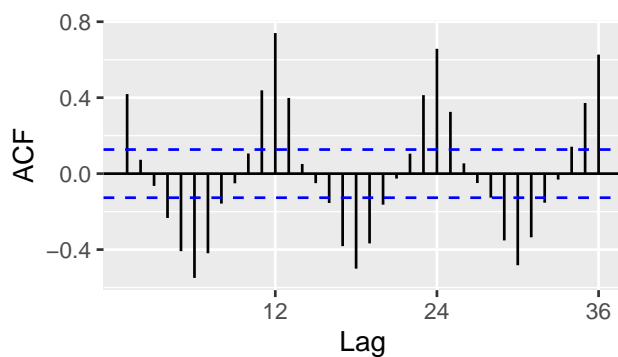
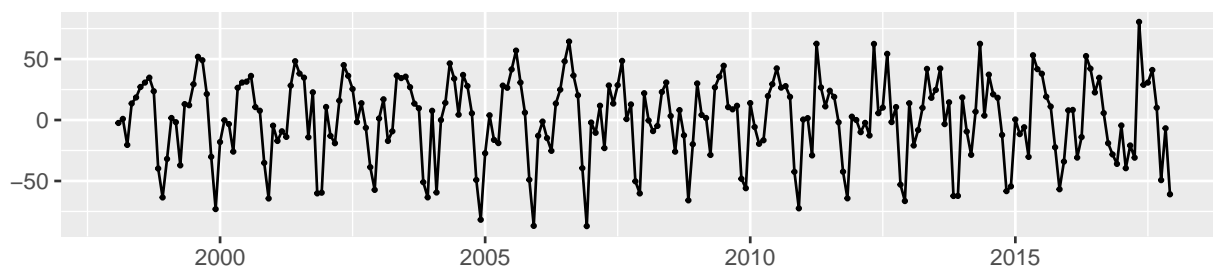
Anexo

Naive

Fertilizantes



Residuals from Naive method



Ljung-Box test

data: Residuals from Naive method
Q* = 772.42, df = 24, p-value < 2.2e-16

Model df: 0. Total lags used: 24

	ME	RMSE	MAE	MPE	MAPE	MASE	ACF1
Training set	0.5276758	33.46313	26.91195	-1.070538	13.30554	1.241926	0.4189777
Test set	35.0437972	74.37272	59.82303	7.480002	19.64148	2.760699	0.7777121
Theil's U							
Training set	NA						
Test set	1.525694						

Forecast method: Naive method

Model Information:

Call: naive(y = ts.train, h = 21)

Residual sd: 33.5292

Error measures:

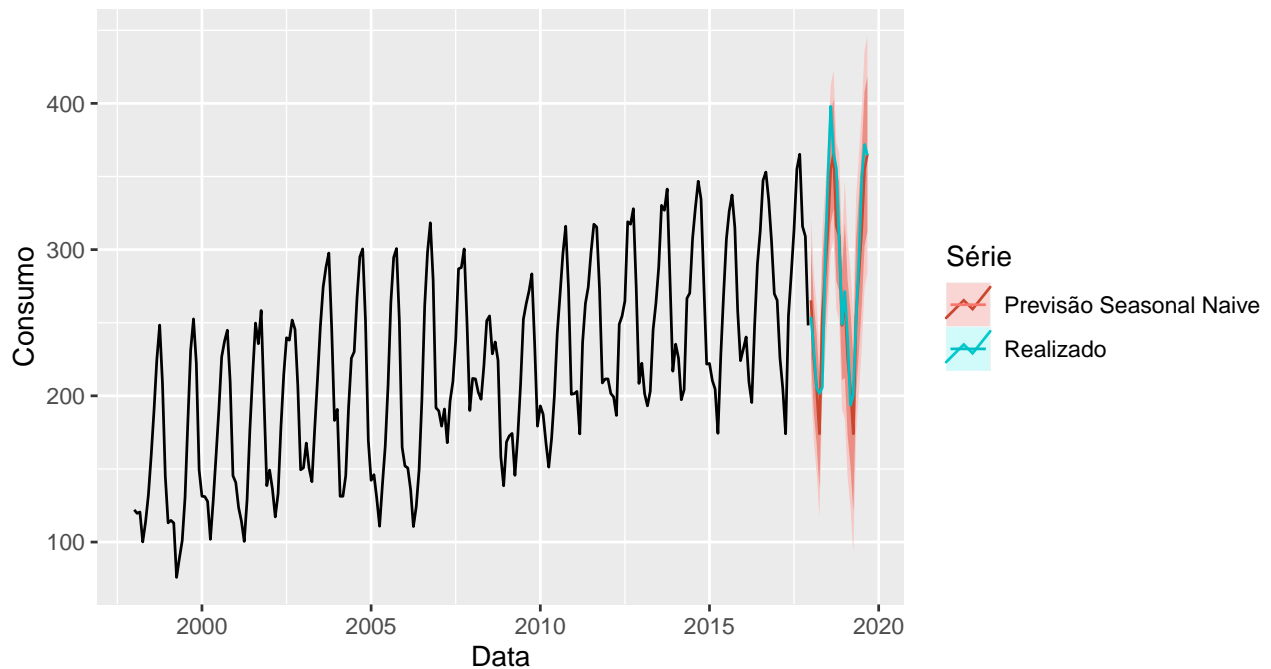
	ME	RMSE	MAE	MPE	MAPE	MASE	ACF1
Training set	0.5276758	33.46313	26.91195	-1.070538	13.30554	1.241926	0.4189777

Forecasts:

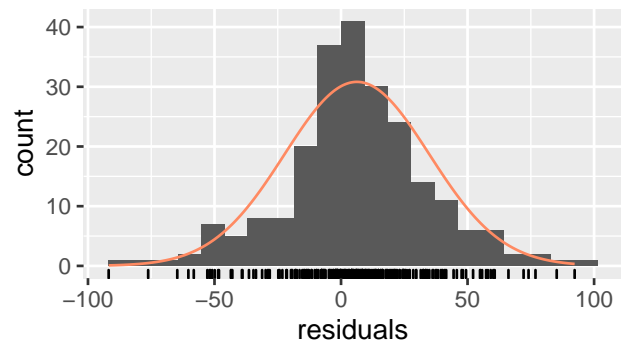
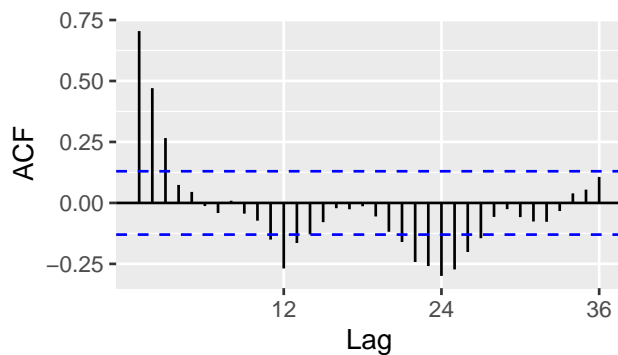
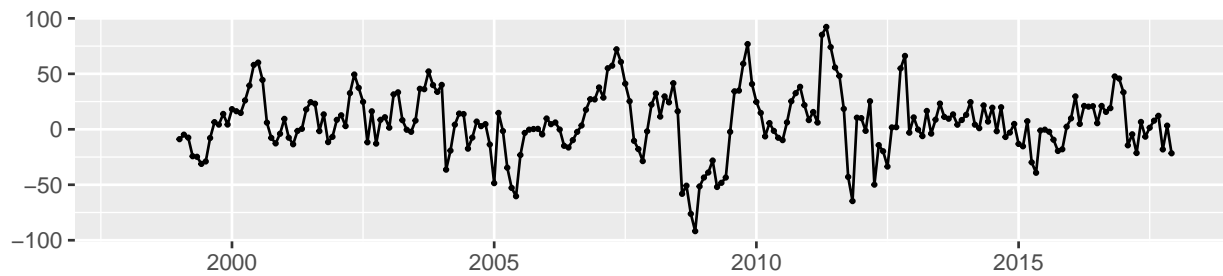
	Point Forecast	Lo 80	Hi 80	Lo 95	Hi 95
Jan 2018	248.1736	205.28888	291.0583	182.587078	313.7601
Feb 2018	248.1736	187.52545	308.8218	155.420245	340.9270
Mar 2018	248.1736	173.89508	322.4521	134.574401	361.7728
Apr 2018	248.1736	162.40415	333.9431	117.000542	379.3467
May 2018	248.1736	152.28044	344.0668	101.517661	394.8296
Jun 2018	248.1736	143.12791	353.2193	87.520067	408.8272
Jul 2018	248.1736	134.71128	361.6359	74.647951	421.6993
Aug 2018	248.1736	126.87728	369.4699	62.666877	433.6804
Sep 2018	248.1736	119.51942	376.8278	51.414006	444.9332
Oct 2018	248.1736	112.56019	383.7870	40.770777	455.5765
Nov 2018	248.1736	105.94105	390.4062	30.647683	465.6995
Dec 2018	248.1736	99.61655	396.7307	20.975189	475.3720
Jan 2019	248.1736	93.55052	402.7967	11.697996	484.6492
Feb 2019	248.1736	87.71364	408.6336	2.771268	493.5760
Mar 2019	248.1736	82.08177	414.2655	-5.841947	502.1892
Apr 2019	248.1736	76.63469	419.7125	-14.172529	510.5198
May 2019	248.1736	71.35534	424.9919	-22.246601	518.5938
Jun 2019	248.1736	66.22911	430.1181	-30.086492	526.4337
Jul 2019	248.1736	61.24341	435.1038	-37.711468	534.0587
Aug 2019	248.1736	56.38727	439.9600	-45.138291	541.4855
Sep 2019	248.1736	51.65109	444.6961	-52.381651	548.7289

Seasonal Naive

Fertilizantes



Residuals from Seasonal naive method



Ljung-Box test

data: Residuals from Seasonal naive method
Q* = 287.89, df = 24, p-value < 2.2e-16

Model df: 0. Total lags used: 24

	ME	RMSE	MAE	MPE	MAPE	MASE	ACF1
Training set	6.277218	29.22272	21.66952	1.929988	10.785796	1.0000000	0.7046447
Test set	9.022473	22.51227	16.43766	2.569095	6.017326	0.7585614	-0.1600989
Theil's U							
Training set	NA						
Test set	0.5652217						

Forecast method: Seasonal naive method

Model Information:

Call: `snaive(y = ts.train, h = 21)`

Residual sd: 28.6034

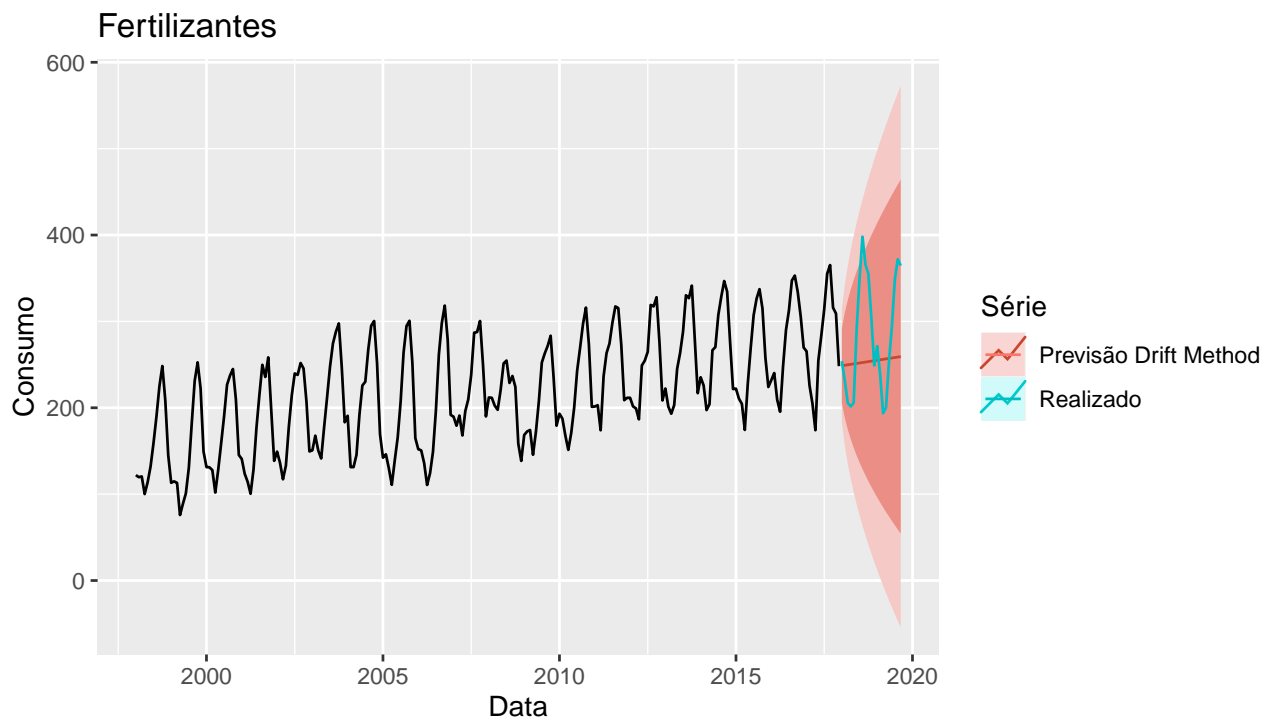
Error measures:

	ME	RMSE	MAE	MPE	MAPE	MASE	ACF1
Training set	6.277218	29.22272	21.66952	1.929988	10.7858	1	0.7046447

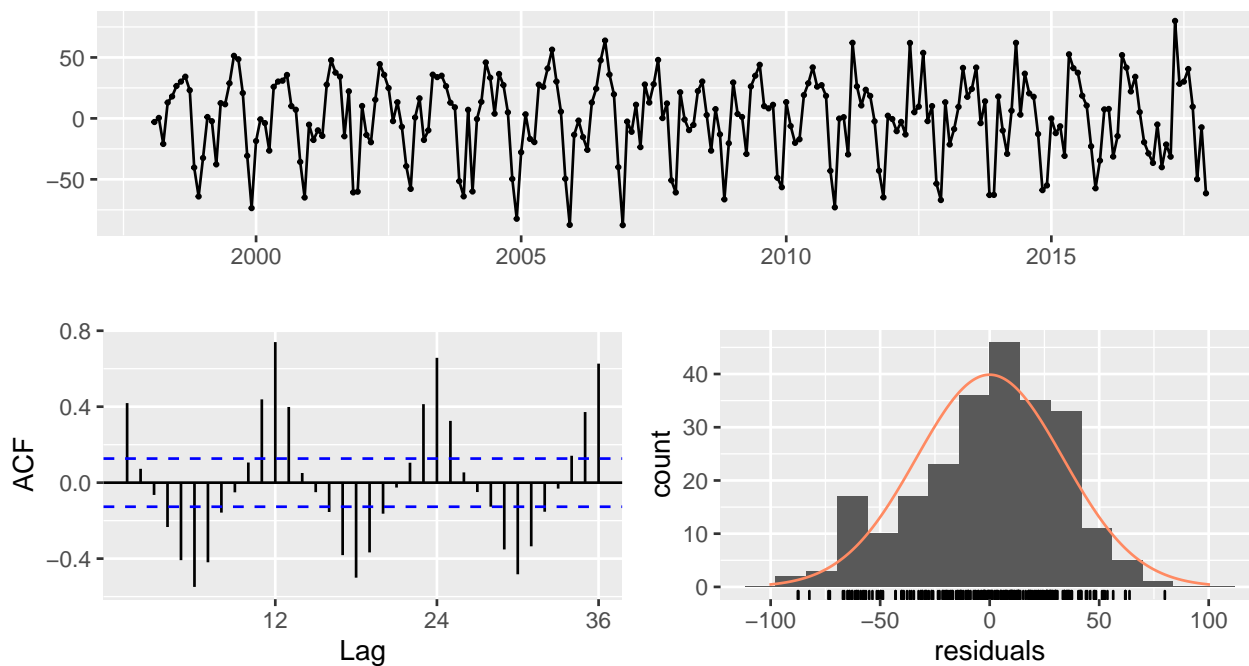
Forecasts:

	Point Forecast	Lo 80	Hi 80	Lo 95	Hi 95
Jan 2018	265.3239	227.8735	302.7743	208.04840	322.5993
Feb 2018	225.8062	188.3558	263.2567	168.53077	283.0817
Mar 2018	204.9195	167.4691	242.3699	147.64403	262.1950
Apr 2018	174.0318	136.5814	211.4822	116.75630	231.3072
May 2018	254.5293	217.0789	291.9797	197.25383	311.8048
Jun 2018	283.4108	245.9604	320.8612	226.13536	340.6863
Jul 2018	314.1044	276.6540	351.5548	256.82890	371.3798
Aug 2018	355.1285	317.6781	392.5790	297.85307	412.4040
Sep 2018	365.2126	327.7622	402.6630	307.93712	422.4881
Oct 2018	315.8860	278.4355	353.3364	258.61048	373.1614
Nov 2018	309.1001	271.6497	346.5505	251.82463	366.3756
Dec 2018	248.1736	210.7232	285.6240	190.89814	305.4491
Jan 2019	265.3239	212.3610	318.2868	184.32412	346.3236
Feb 2019	225.8062	172.8434	278.7691	144.80649	306.8060
Mar 2019	204.9195	151.9566	257.8824	123.91975	285.9192
Apr 2019	174.0318	121.0689	226.9947	93.03202	255.0315
May 2019	254.5293	201.5664	307.4922	173.52955	335.5290
Jun 2019	283.4108	230.4479	336.3737	202.41108	364.4106
Jul 2019	314.1044	261.1415	367.0673	233.10462	395.1041
Aug 2019	355.1285	302.1657	408.0914	274.12879	436.1283
Sep 2019	365.2126	312.2497	418.1755	284.21285	446.2123

Drift Method



Residuals from Random walk with drift



Ljung-Box test

data: Residuals from Random walk with drift
Q* = 772.42, df = 23, p-value < 2.2e-16

Model df: 1. Total lags used: 24

	ME	RMSE	MAE	MPE	MAPE	MASE
Training set	-1.605730e-15	33.45897	26.85422	-1.338443	13.30201	1.239262
Test set	2.923936e+01	70.97605	57.91351	5.401372	19.35765	2.672579

ACF1 Theil's U

Training set	0.4189777	NA
Test set	0.7782601	1.482231

Forecast method: Random walk with drift

Model Information:

Call: rwf(y = ts.train, h = 21, drift = TRUE)

Drift: 0.5277 (se 2.1688)

Residual sd: 33.5292

Error measures:

	ME	RMSE	MAE	MPE	MAPE	MASE
Training set	-1.60573e-15	33.45897	26.85422	-1.338443	13.30201	1.239262

ACF1

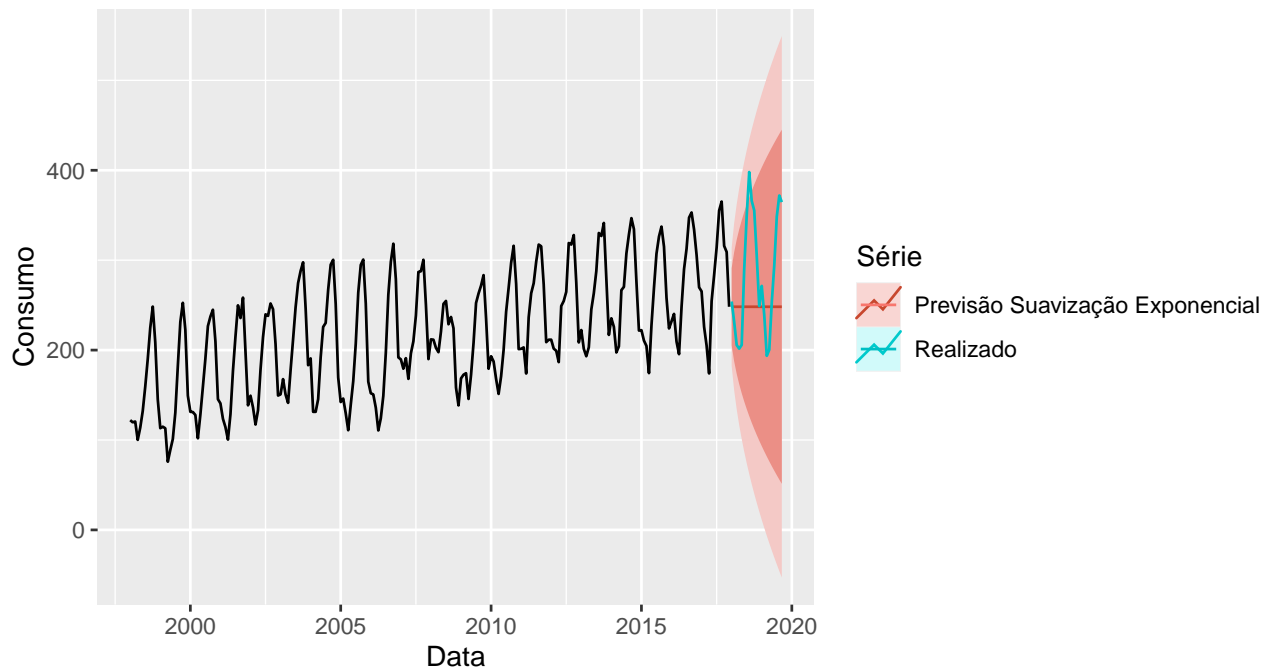
Training set 0.4189777

Forecasts:

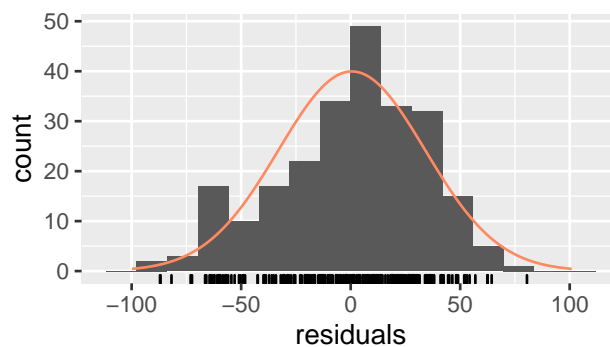
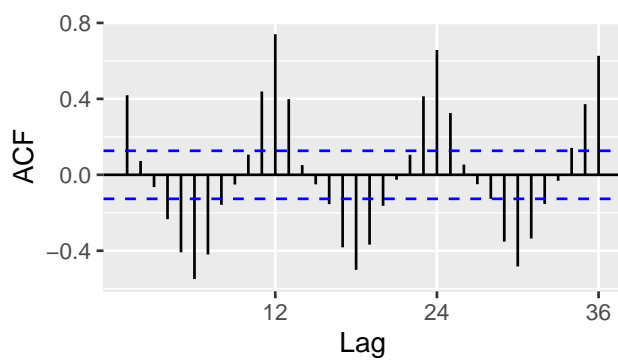
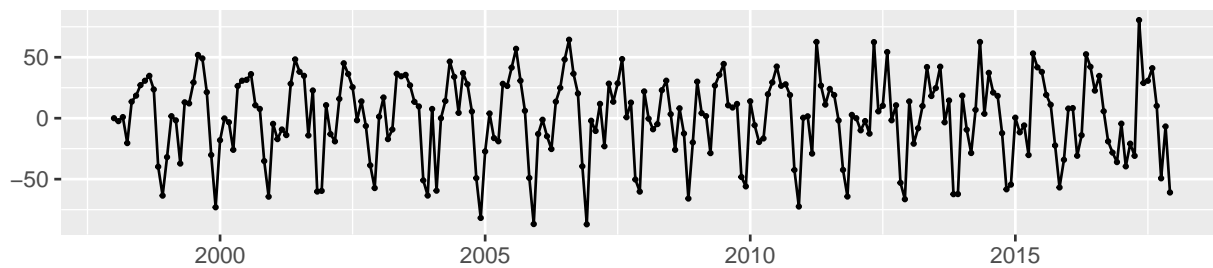
	Point Forecast	Lo 80	Hi 80	Lo 95	Hi 95
Jan 2018	248.7013	205.73190	291.6707	182.985283	314.4173
Feb 2018	249.2290	188.33408	310.1239	156.098273	342.3597
Mar 2018	249.7566	175.02073	324.4926	135.457923	364.0554
Apr 2018	250.2843	163.80786	336.7608	118.029990	382.5386
May 2018	250.8120	153.92882	347.6952	102.641969	398.9820
Jun 2018	251.3397	144.99132	357.6880	88.693907	413.9854
Jul 2018	251.8673	136.76285	366.9718	75.830217	427.9045
Aug 2018	252.3950	129.09227	375.6978	63.819741	440.9703
Sep 2018	252.9227	121.87483	383.9706	52.502287	453.3431
Oct 2018	253.4504	115.03445	391.8663	41.761488	465.1393
Nov 2018	253.9780	108.51381	399.4423	31.509701	476.4464
Dec 2018	254.5057	102.26851	406.7429	21.678993	487.3325
Jan 2019	255.0334	96.26329	413.8035	12.215471	497.8513
Feb 2019	255.5611	90.46966	420.6525	3.075541	508.0466
Mar 2019	256.0888	84.86418	427.3133	-5.776639	517.9541
Apr 2019	256.6164	79.42730	433.8055	-14.370950	527.6038
May 2019	257.1441	74.14256	440.1456	-22.732609	537.0208
Jun 2019	257.6718	68.99587	446.3477	-30.883117	546.2267
Jul 2019	258.1995	63.97515	452.4238	-38.840982	555.2399
Aug 2019	258.7271	59.06989	458.3844	-46.622264	564.0765
Sep 2019	259.2548	54.27091	464.2387	-54.241005	572.7506

Suavização Exponencial

Fertilizantes



Residuals from Simple exponential smoothing



Ljung-Box test

data: Residuals from Simple exponential smoothing
Q* = 775.74, df = 22, p-value < 2.2e-16

Model df: 2. Total lags used: 24

	ME	RMSE	MAE	MPE	MAPE	MASE	ACF1
Training set	0.5255948	33.39475	26.80105	-1.066245	13.25068	1.236808	0.4190543
Test set	35.0377043	74.36985	59.82100	7.477730	19.64114	2.760605	0.7777121
Theil's U							
Training set	NA						
Test set	1.525661						

Forecast method: Simple exponential smoothing

Model Information:

Simple exponential smoothing

Call:

```
ses(y = ts.train, h = 21)
```

Smoothing parameters:

alpha = 0.9999

Initial states:

l = 122.0496

sigma: 33.5348

AIC	AICc	BIC
3005.385	3005.486	3015.827

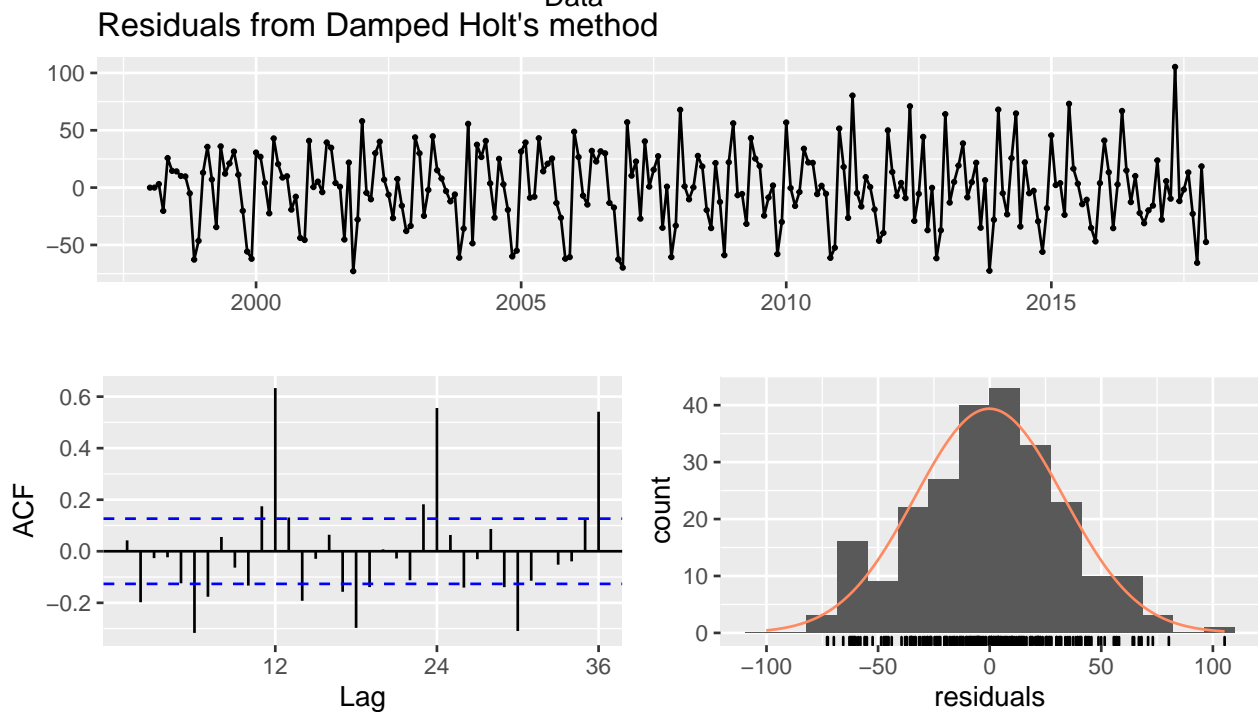
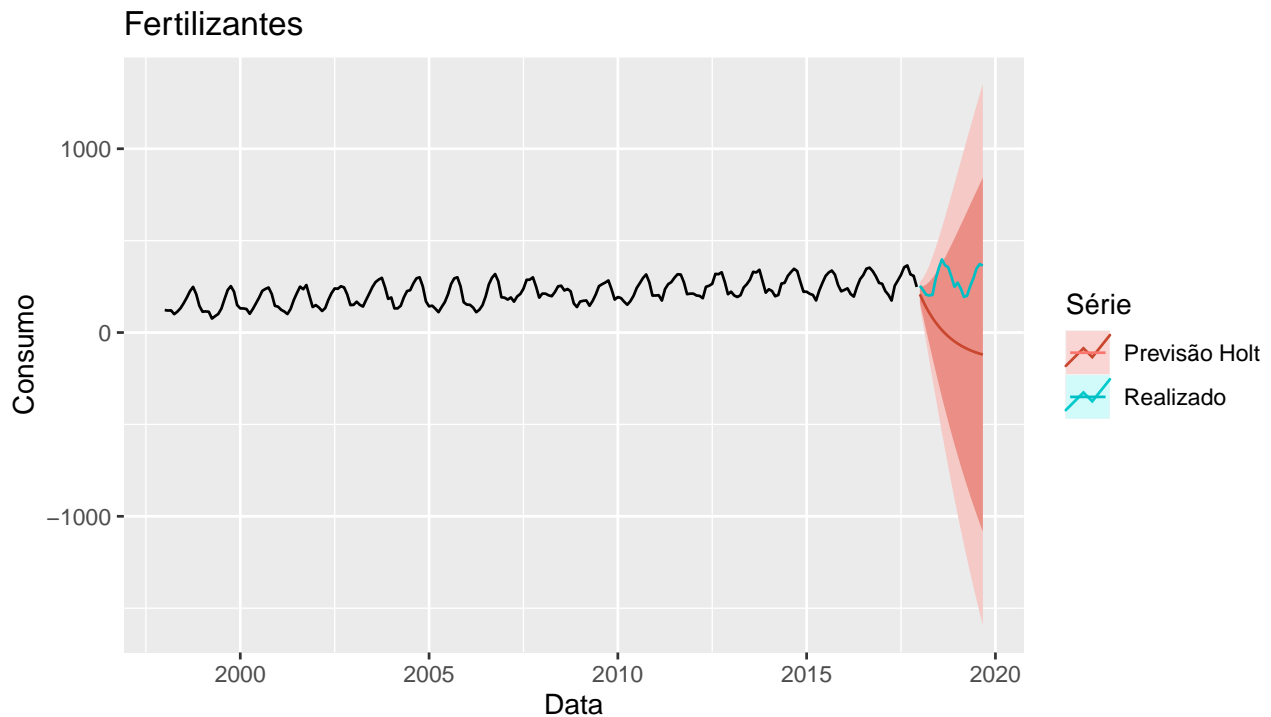
Error measures:

	ME	RMSE	MAE	MPE	MAPE	MASE	ACF1
Training set	0.5255948	33.39475	26.80105	-1.066245	13.25068	1.236808	0.4190543

Forecasts:

	Point Forecast	Lo 80	Hi 80	Lo 95	Hi 95
Jan 2018	248.1797	205.20317	291.1562	182.452773	313.9066
Feb 2018	248.1797	187.40475	308.9547	155.232433	341.1270
Mar 2018	248.1797	173.74713	322.6123	134.344907	362.0145
Apr 2018	248.1797	162.23309	334.1263	116.735698	379.6237
May 2018	248.1797	152.08895	344.2705	101.221572	395.1378
Jun 2018	248.1797	142.91790	353.4415	87.195673	409.1637
Jul 2018	248.1797	134.48424	361.8752	74.297491	422.0619
Aug 2018	248.1797	126.63435	369.7251	62.292131	434.0673
Sep 2018	248.1797	119.26157	377.0978	51.016432	445.3430
Oct 2018	248.1797	112.28821	384.0712	40.351598	456.0078
Nov 2018	248.1797	105.65563	390.7038	30.207946	466.1515
Dec 2018	248.1797	99.31828	397.0411	20.515800	475.8436
Jan 2019	248.1797	93.23992	403.1195	11.219752	485.1397
Feb 2019	248.1797	87.39118	408.9682	2.274875	494.0845
Mar 2019	248.1797	81.74785	414.6116	-6.355855	502.7153
Apr 2019	248.1797	76.28969	420.0697	-14.703381	511.0628
May 2019	248.1797	70.99960	425.3598	-22.793878	519.1533
Jun 2019	248.1797	65.86294	430.4965	-30.649721	527.0091
Jul 2019	248.1797	60.86709	435.4923	-38.290214	534.6496
Aug 2019	248.1797	56.00107	440.3583	-45.732153	542.0916
Sep 2019	248.1797	51.25525	445.1042	-52.990257	549.3497

Holt



Ljung-Box test

data: Residuals from Damped Holt's method
Q* = 308.18, df = 19, p-value < 2.2e-16

Model df: 5. Total lags used: 24

	ME	RMSE	MAE	MPE	MAPE	MASE
Training set	-0.1510174	33.24857	26.31503	0.6792363	13.34938	1.21438
Test set	290.2985333	319.78976	290.29853	99.8978507	99.89785	13.39663

	ACF1	Theil's U
Training set	0.04222199	NA
Test set	0.81526010	7.229639

Forecast method: Damped Holt's method

Model Information:
Damped Holt's method

Call:
holt(y = ts.train, h = 21, damped = TRUE, alpha = 0.97, beta = 0.7,

Call:
phi = 0.9)

Smoothing parameters:
alpha = 0.97
beta = 0.7
phi = 0.9

Initial states:
l = 124.7858
b = -2.9794

sigma: 33.6004

AIC	AICc	BIC
3003.279	3003.381	3013.721

Error measures:

	ME	RMSE	MAE	MPE	MAPE	MASE	ACF1
Training set	-0.1510174	33.24857	26.31503	0.6792363	13.34938	1.21438	0.04222199

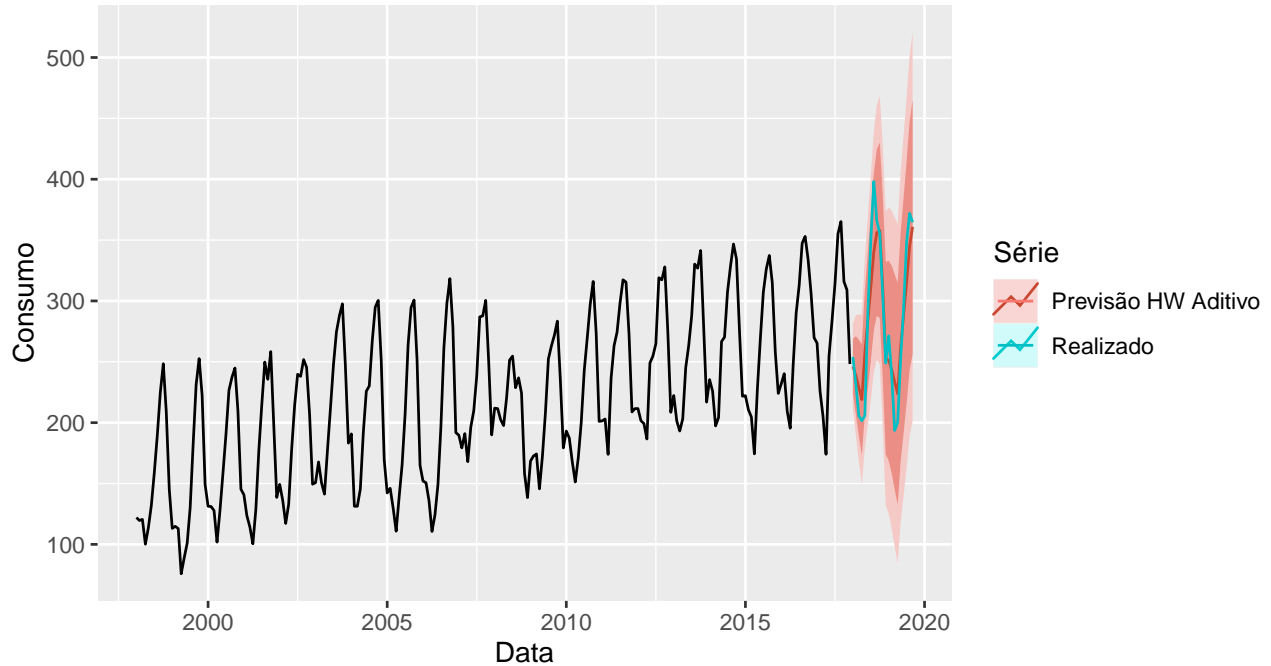
Forecasts:

	Point Forecast	Lo 80	Hi 80	Lo 95	Hi 95
Jan 2018	208.085960	165.02529	251.1466	142.23034	273.9416
Feb 2018	170.724973	89.47826	251.9717	46.46885	294.9811
Mar 2018	137.100085	13.37358	260.8266	-52.12327	326.3234
Apr 2018	106.837685	-62.27526	275.9506	-151.79824	365.4736
May 2018	79.601525	-136.82664	296.0297	-251.39679	410.5998
Jun 2018	55.088982	-209.87862	320.0566	-350.14400	460.3220
Jul 2018	33.027692	-281.18320	347.2386	-447.51640	513.5718
Aug 2018	13.172532	-350.59458	376.9396	-543.16125	569.5063
Sep 2018	-4.697112	-418.03667	408.6424	-636.84542	627.4512
Oct 2018	-20.779792	-483.48177	441.9222	-728.42141	686.8618
Nov 2018	-35.254204	-546.93599	476.4276	-817.80397	747.2956
Dec 2018	-48.281175	-608.42911	511.8668	-904.95352	808.3912
Jan 2019	-60.005449	-668.00731	547.9964	-989.86405	869.8532
Feb 2019	-70.557295	-725.72790	584.6133	-1072.55427	931.4397
Mar 2019	-80.053957	-781.65549	621.5476	-1153.06091	992.9530

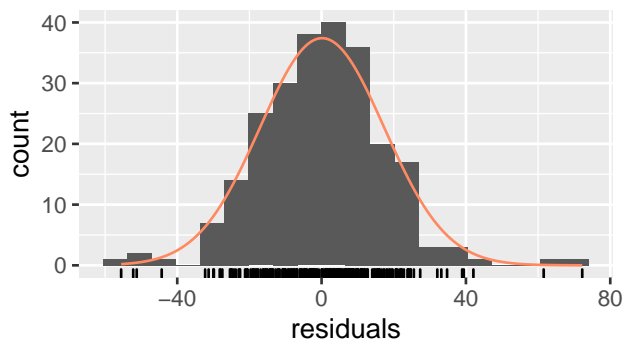
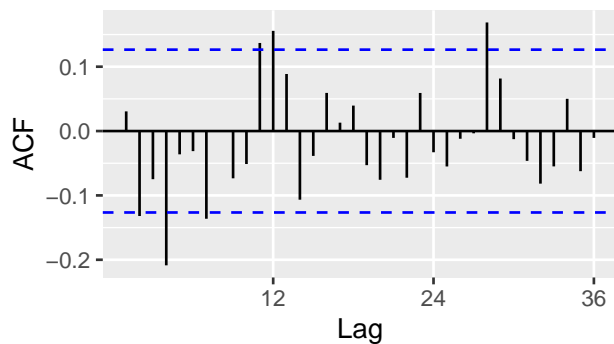
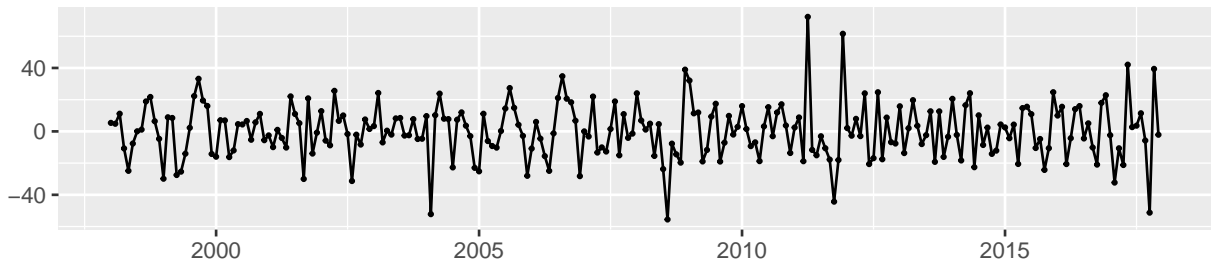
Apr 2019	-88.600952	-835.85910	658.6572	-1231.43368	1054.2318
May 2019	-96.293248	-888.41009	695.8236	-1307.73142	1115.1449
Jun 2019	-103.216314	-939.38058	732.9480	-1382.01921	1175.5866
Jul 2019	-109.447074	-988.84231	769.9482	-1454.36603	1235.4719
Aug 2019	-115.054758	-1036.86583	806.7563	-1524.84313	1294.7336
Sep 2019	-120.101673	-1083.51984	843.3165	-1593.52262	1353.3193

Holt Winther Aditivo

Fertilizantes



Residuals from Holt–Winters' additive method



Ljung-Box test

data: Residuals from Holt-Winters' additive method
Q* = 46.306, df = 8, p-value = 2.079e-07

Model df: 16. Total lags used: 24

	ME	RMSE	MAE	MPE	MAPE	MASE
Training set	0.1386898	17.17784	13.12741	-0.5059202	6.645539	0.6058007
Test set	0.9741971	25.09012	19.12669	-1.4184047	7.227631	0.8826538

ACF1 Theil's U

Training set	0.03056295	NA
Test set	0.48862134	0.6320488

Forecast method: Holt-Winters' additive method

Model Information:
Holt-Winters' additive method

Call:
hw(y = ts.train, h = 21, seasonal = "additive")

Smoothing parameters:

alpha = 0.9999
beta = 1e-04
gamma = 1e-04

Initial states:

l = 151.5888
b = 0.3987
s = -32.819 26.3995 72.9962 71.4922 56.0314 26.8346
0.1561 -25.6253 -63.6621 -53.5693 -42.9382 -35.2959

sigma: 17.7808

AIC	AICc	BIC
2714.291	2717.048	2773.462

Error measures:

	ME	RMSE	MAE	MPE	MAPE	MASE
Training set	0.1386898	17.17784	13.12741	-0.5059202	6.645539	0.6058007

ACF1

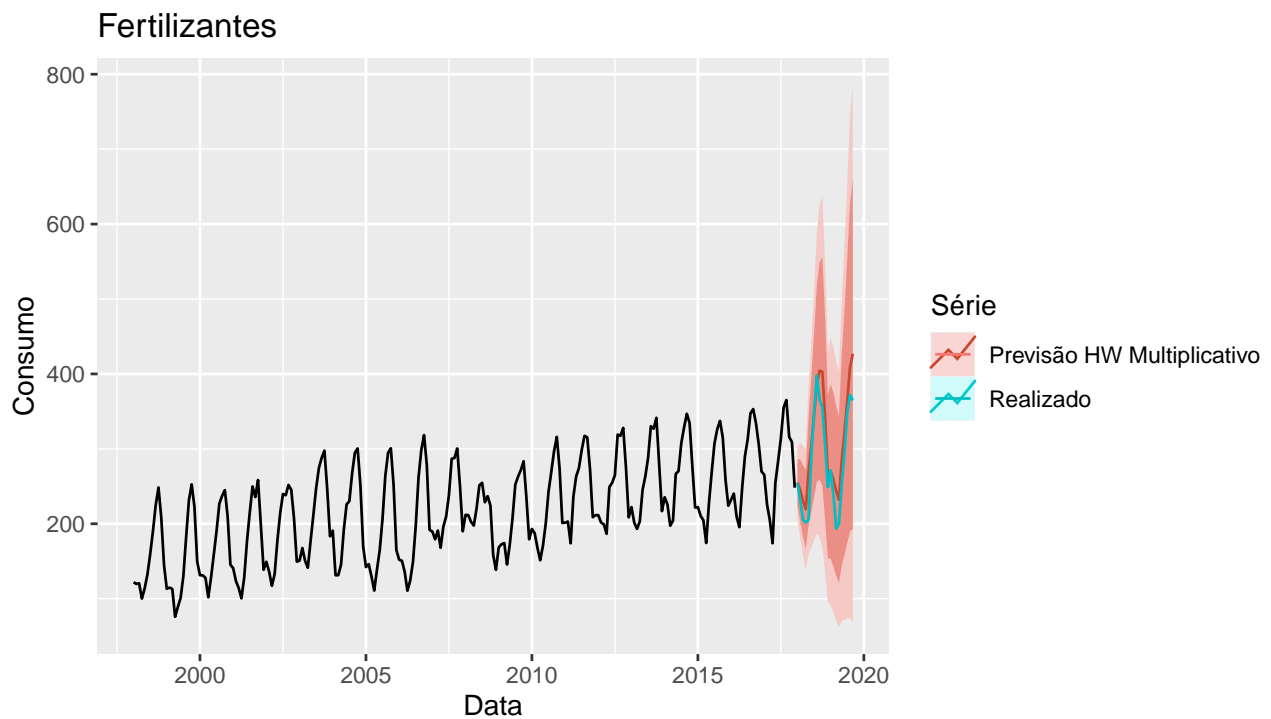
Training set	0.03056295
--------------	------------

Forecasts:

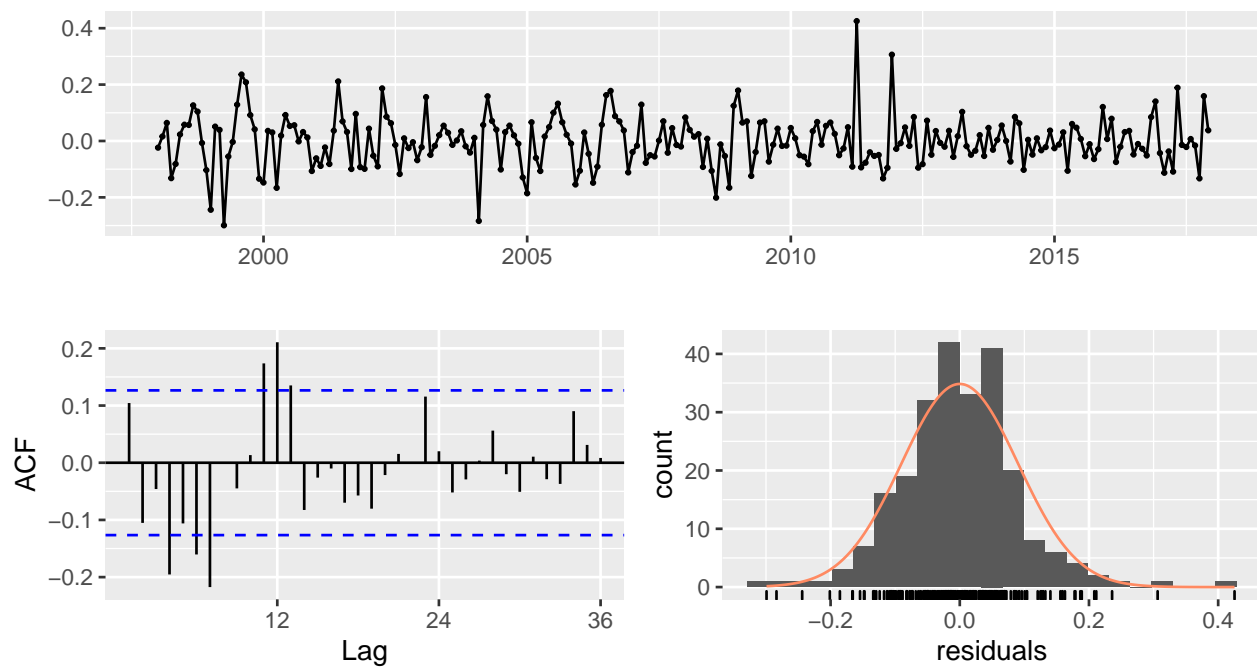
	Point Forecast	Lo 80	Hi 80	Lo 95	Hi 95
Jan 2018	246.1041	223.3171	268.8910	211.25443	280.9537
Feb 2018	238.8544	206.6290	271.0798	189.56993	288.1388
Mar 2018	228.6256	189.1566	268.0947	168.26289	288.9884
Apr 2018	218.9358	173.3590	264.5126	149.23205	288.6395
May 2018	257.3713	206.4126	308.3300	179.43667	335.3059
Jun 2018	283.5592	227.7342	339.3843	198.18221	368.9363
Jul 2018	310.6443	250.3436	370.9451	218.42225	402.8664

Aug 2018	340.2422	275.7749	404.7096	241.64793	438.8365
Sep 2018	356.0980	287.7167	424.4793	251.51787	460.6781
Oct 2018	358.0055	285.9218	430.0892	247.76295	468.2480
Nov 2018	311.8121	236.2064	387.4179	196.18309	427.4411
Dec 2018	252.9983	174.0268	331.9698	132.22176	373.7748
Jan 2019	250.9287	168.7278	333.1296	125.21329	376.6441
Feb 2019	243.6790	158.3710	328.9871	113.21159	374.1465
Mar 2019	233.4503	145.1437	321.7569	98.39703	368.5035
Apr 2019	223.7604	132.5533	314.9675	84.27115	363.2497
May 2019	262.1959	168.1771	356.2147	118.40658	405.9852
Jun 2019	288.3839	191.6346	385.1332	140.41856	436.3492
Jul 2019	315.4690	216.0636	414.8744	163.44156	467.4964
Aug 2019	345.0669	243.0740	447.0597	189.08230	501.0515
Sep 2019	360.9226	256.4059	465.4394	201.07808	520.7672

Holt Winther Multiplicativo



Residuals from Holt-Winters' multiplicative method



Ljung-Box test

data: Residuals from Holt-Winters' multiplicative method
 Q* = 70.037, df = 8, p-value = 4.831e-12

Model df: 16. Total lags used: 24

	ME	RMSE	MAE	MPE	MAPE	MASE
Training set	-0.5385824	17.64582	13.67573	-0.8246467	6.853081	0.6311042
Test set	-25.2293039	32.32965	26.89050	-9.6822304	10.131861	1.2409362

	ACF1	Theil's U
Training set	0.0872113	NA
Test set	0.2064641	0.7998586

Forecast method: Holt-Winters' multiplicative method

Model Information:

Holt-Winters' multiplicative method

Call:

```
hw(y = ts.train, h = 21, seasonal = "multiplicative")
```

Smoothing parameters:

```
alpha = 0.9999
beta = 2e-04
gamma = 1e-04
```

Initial states:

```
l = 144.0414
b = 1.4777
```



```
s = 0.84 1.0912 1.3002 1.3104 1.2602 1.1283
    1.0013 0.8912 0.7288 0.7689 0.8202 0.8592
```

```
sigma: 0.0935
```

```
      AIC      AICc      BIC
2757.699 2760.456 2816.870
```

Error measures:

```
              ME      RMSE      MAE      MPE      MAPE      MASE
Training set -0.5385824 17.64582 13.67573 -0.8246467 6.853081 0.6311042
              ACF1
Training set 0.0872113
```

Forecasts:

	Point Forecast	Lo 80	Hi 80	Lo 95	Hi 95
Jan 2018	255.0765	224.5225	285.6306	208.34819	301.8049
Feb 2018	244.7159	203.2711	286.1607	181.33153	308.1003
Mar 2018	230.5108	182.7064	278.3153	157.40021	303.6215
Apr 2018	219.5231	166.9623	272.0840	139.13827	299.9080
May 2018	269.7415	197.5429	341.9402	159.32322	380.1598
Jun 2018	304.5421	215.2586	393.8256	167.99481	441.0895
Jul 2018	344.7748	235.6077	453.9419	177.81813	511.7314
Aug 2018	386.9171	255.9579	517.8762	186.63231	587.2018
Sep 2018	404.2165	259.1121	549.3210	182.29841	626.1347
Oct 2018	402.9335	250.4729	555.3942	169.76510	636.1020
Nov 2018	339.7365	204.9185	474.5546	133.55006	545.9230
Dec 2018	262.7281	153.8355	371.6207	96.19130	429.2649
Jan 2019	269.9638	153.5031	386.4245	91.85247	448.0751
Feb 2019	258.9293	143.0113	374.8474	81.64796	436.2107
Mar 2019	243.8347	130.8404	356.8290	71.02484	416.6446
Apr 2019	232.1511	121.0389	343.2633	62.21969	402.0825
May 2019	285.1842	144.4816	425.8869	69.99808	500.3704
Jun 2019	321.8944	158.4653	485.3235	71.95123	571.8376
Jul 2019	364.3266	174.2712	554.3820	73.66189	654.9913
Aug 2019	408.7555	189.9643	627.5468	74.14318	743.3679
Sep 2019	426.9246	192.7410	661.1082	68.77168	785.0776

ETS

ETS(A,N,A)

Call:

```
ets(y = ts.total)
```

Smoothing parameters:

```
alpha = 0.9999
```

```
gamma = 1e-04
```

Initial states:

```
l = 167.2623
```

```
s = -33.704 25.563 72.7694 71.7423 61.052 29.381
```

```
    -0.5442 -29.2881 -65.0344 -56.6661 -43.0889 -32.1819
```

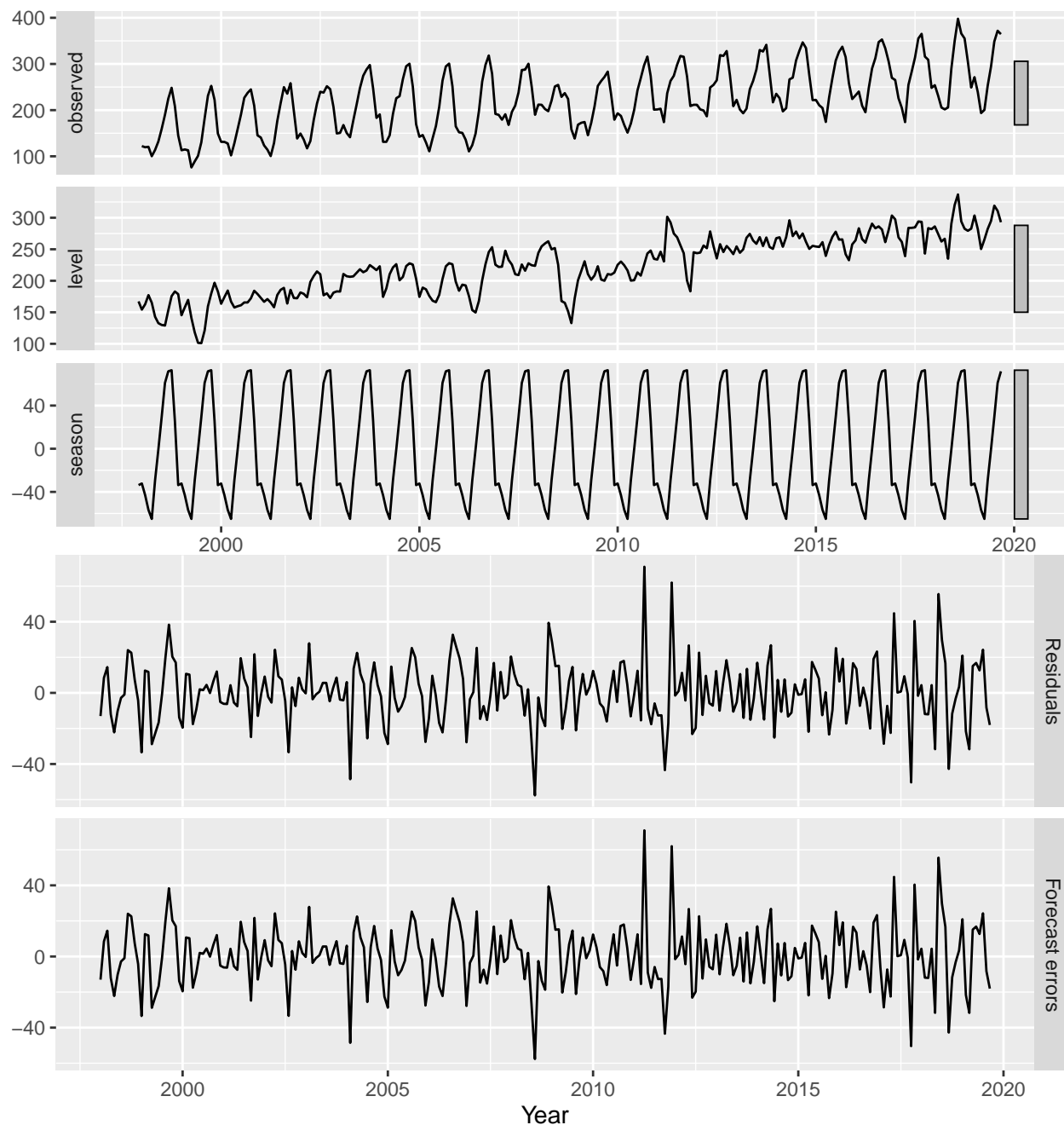
sigma: 18.2498

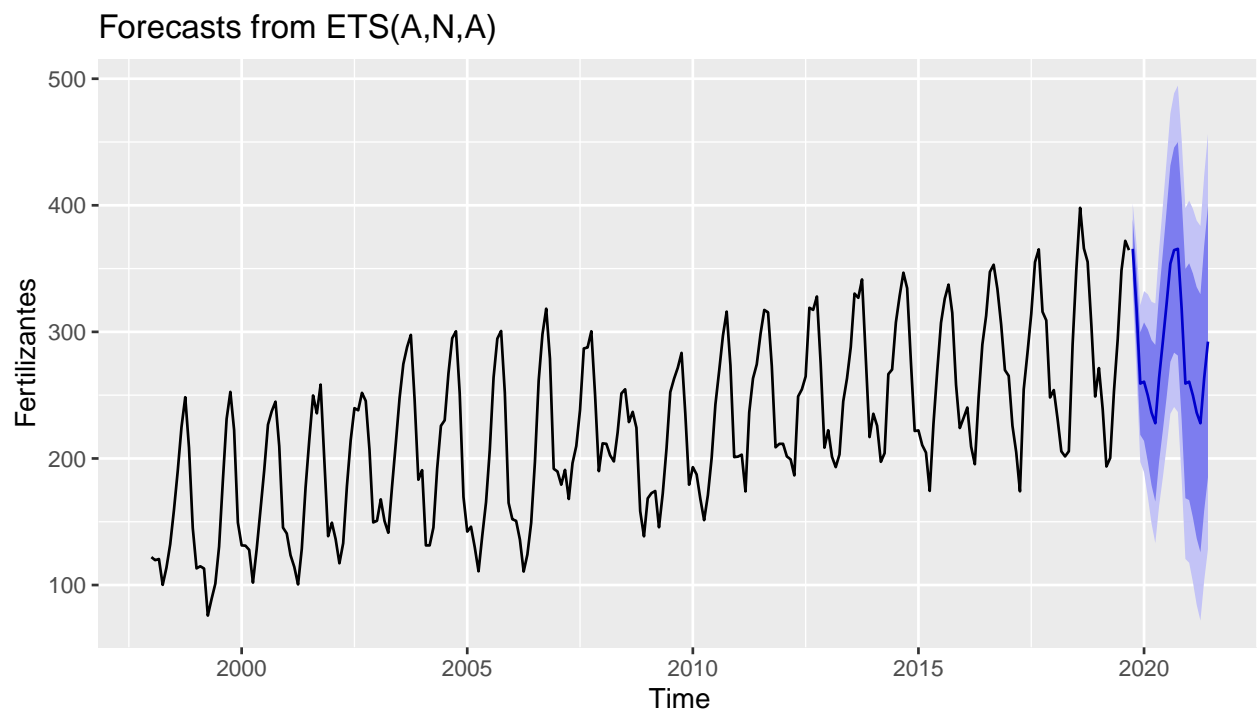
AIC	AICc	BIC
2983.920	2985.879	3037.387

Training set error measures:

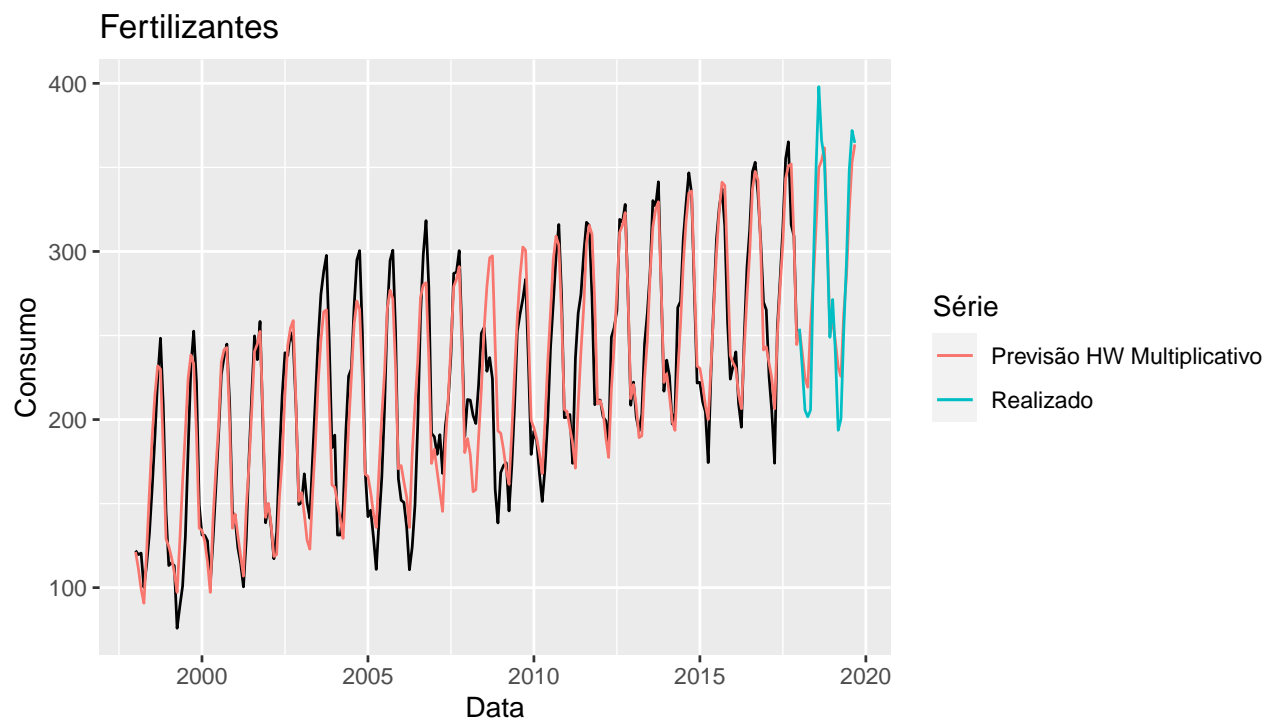
	ME	RMSE	MAE	MPE	MAPE	MASE	ACF1
Training set	0.4812123	17.75362	13.5058	-0.3440582	6.67491	0.6365459	0.03075803

Components of ETS(A,N,A) method

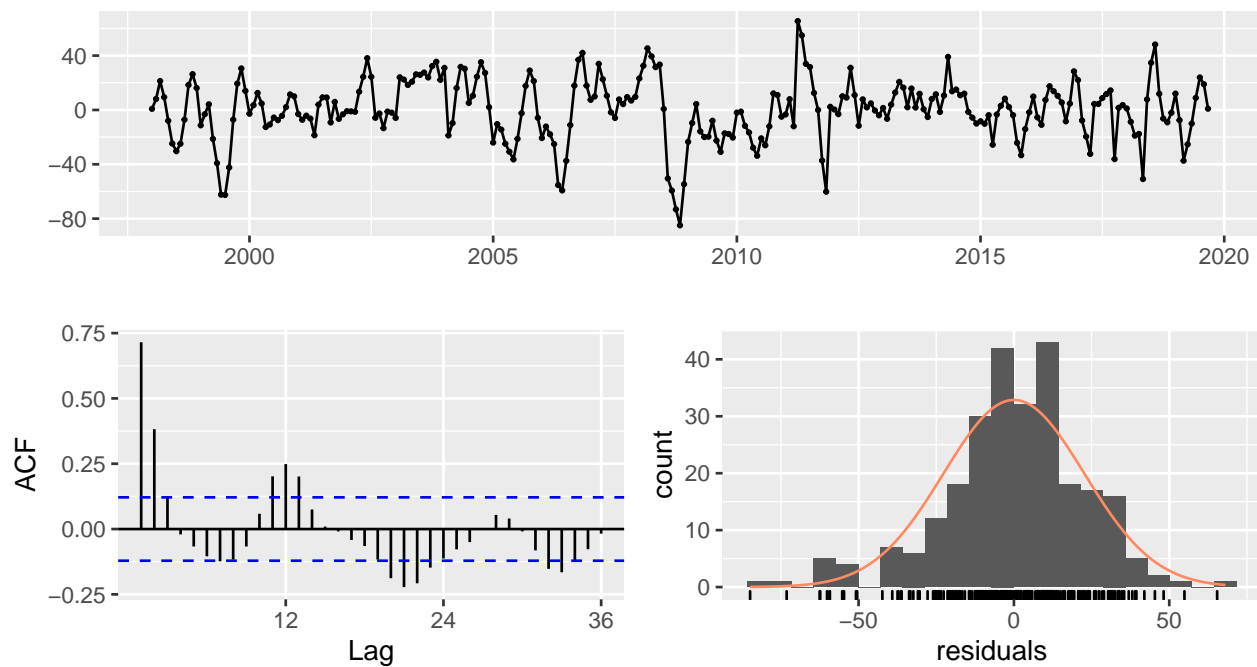




Dummy



Residuals from Linear regression model



Breusch-Godfrey test for serial correlation of order up to 24

data: Residuals from Linear regression model

LM test = 155.86, df = 24, p-value < 2.2e-16

	ME	RMSE	MAE	MPE	MAPE	ACF1	Theil's U
Test set	-1.214474	22.39923	17.24986	-2.049079	6.626138	0.5171863	0.5855158

Call:

```
tslm(formula = ts.total ~ trend + season + bizdays(ts.total))
```

Residuals:

	Min	1Q	Median	3Q	Max
Residuals	-84.924	-10.719	0.916	12.510	65.420

Coefficients:

	Estimate	Std. Error	t value	Pr(> t)
(Intercept)	56.57296	37.26048	1.518	0.130215
trend	0.53538	0.01913	27.989	< 2e-16 ***
season2	-7.05247	7.29087	-0.967	0.334340
season3	-29.49324	7.58848	-3.887	0.000131 ***
season4	-35.31609	7.05602	-5.005	1.06e-06 ***
season5	-1.77560	7.20876	-0.246	0.805646
season6	26.58467	7.31469	3.634	0.000339 ***
season7	58.78892	7.19088	8.175	1.55e-14 ***
season8	86.70926	7.82836	11.076	< 2e-16 ***
season9	103.21620	7.02013	14.703	< 2e-16 ***
season10	97.48104	7.87078	12.385	< 2e-16 ***
season11	55.63757	7.10959	7.826	1.48e-13 ***
season12	-4.64139	7.25585	-0.640	0.522976

```

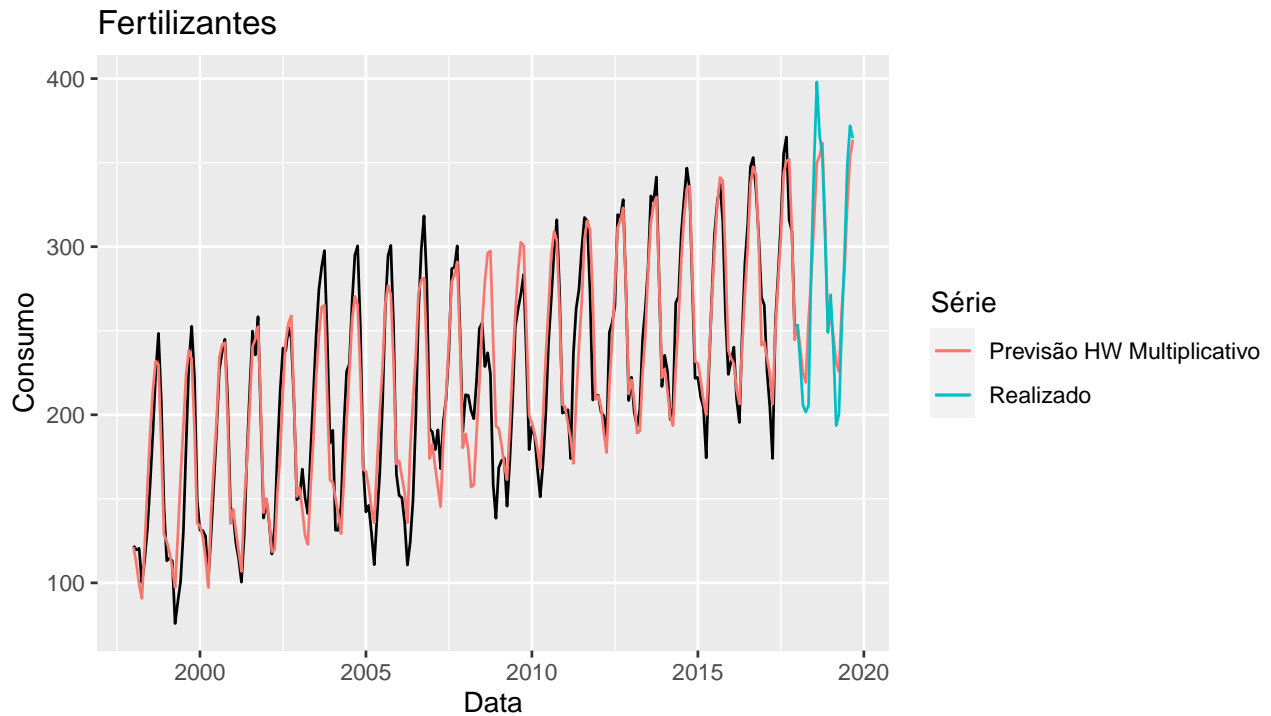
bizdays(ts.total)    3.20739    1.81636    1.766 0.078658 .
---
Signif. codes:  0 '***' 0.001 '**' 0.01 '*' 0.05 '.' 0.1 ' ' 1

Residual standard error: 23.27 on 247 degrees of freedom
Multiple R-squared:  0.8872,    Adjusted R-squared:  0.8813 
F-statistic: 149.5 on 13 and 247 DF,  p-value: < 2.2e-16

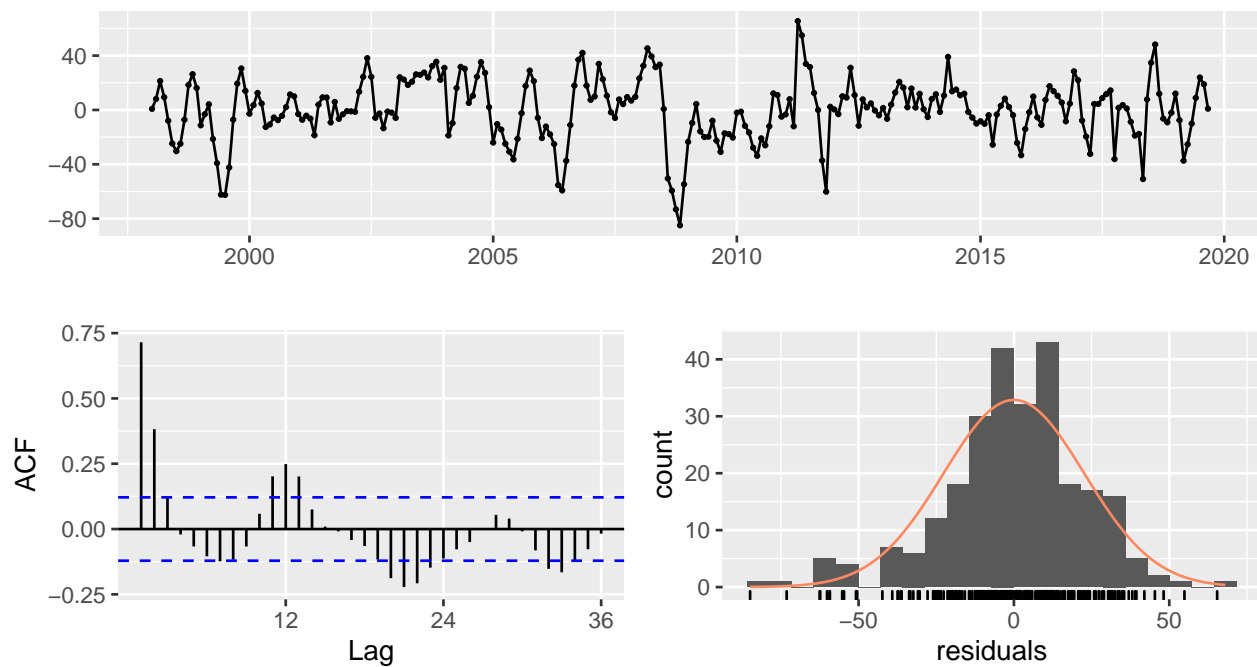
[1] 2399.14

```

Fourier



Residuals from Linear regression model



Breusch-Godfrey test for serial correlation of order up to 24

data: Residuals from Linear regression model

LM test = 155.86, df = 24, p-value < 2.2e-16

	ME	RMSE	MAE	MPE	MAPE	ACF1	Theil's U
Test set	-1.214474	22.39923	17.24986	-2.049079	6.626138	0.5171863	0.5855158

Call:

```
tslm(formula = ts.total ~ trend + bizdays(ts.total) + fourier(ts.total,
  K = 6))
```

Residuals:

	Min	1Q	Median	3Q	Max
Residuals	-84.924	-10.719	0.916	12.510	65.420

Coefficients:

	Estimate	Std. Error	t value	Pr(> t)
(Intercept)	85.75119	38.27783	2.240	0.0260 *
trend	0.53538	0.01913	27.989	< 2e-16 ***
bizdays(ts.total)	3.20739	1.81636	1.766	0.0787 .
fourier(ts.total, K = 6)S1-12	-64.50270	2.16439	-29.802	< 2e-16 ***
fourier(ts.total, K = 6)C1-12	-2.14996	2.17151	-0.990	0.3231
fourier(ts.total, K = 6)S2-12	3.23587	2.08624	1.551	0.1222
fourier(ts.total, K = 6)C2-12	-11.06085	2.03931	-5.424	1.39e-07 ***
fourier(ts.total, K = 6)S3-12	2.75123	2.09453	1.314	0.1902
fourier(ts.total, K = 6)C3-12	-11.71024	2.07504	-5.643	4.56e-08 ***
fourier(ts.total, K = 6)S4-12	-1.81359	2.06215	-0.879	0.3800
fourier(ts.total, K = 6)C4-12	-5.26168	2.06485	-2.548	0.0114 *
fourier(ts.total, K = 6)S5-12	0.89921	2.58727	0.348	0.7285

```

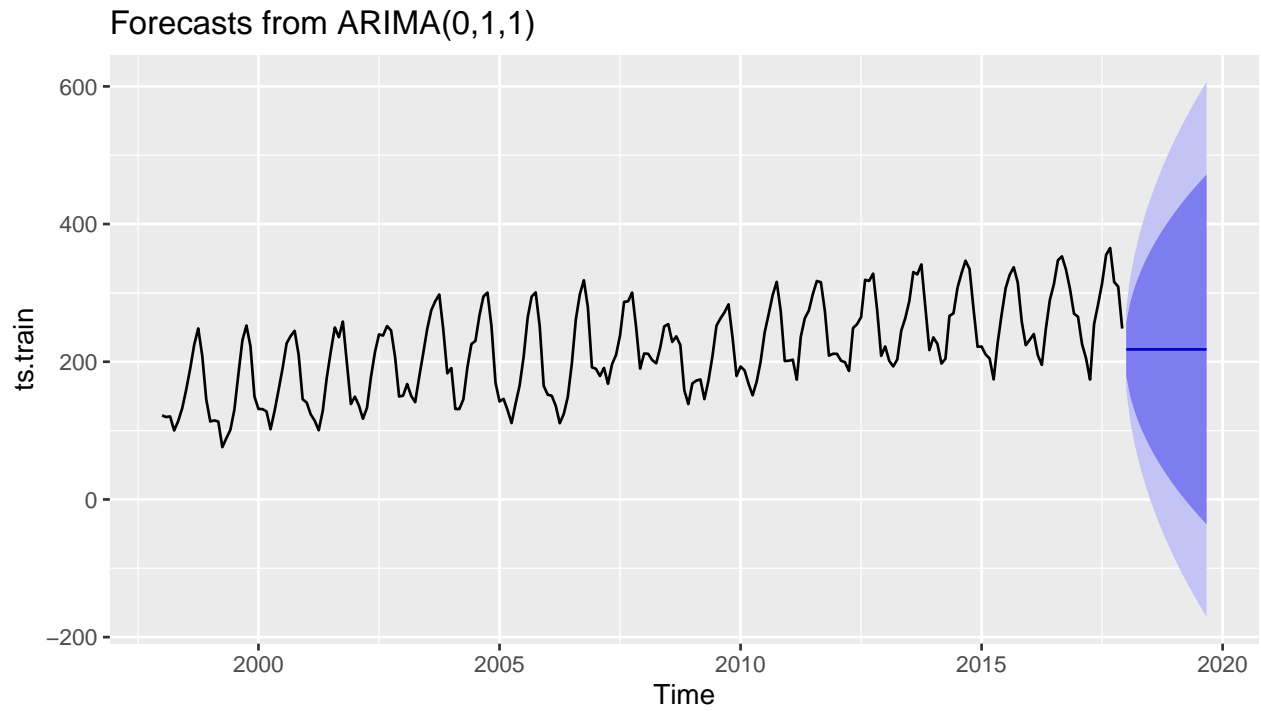
fourier(ts.total, K = 6)C5-12  -1.75282    2.04322   -0.858    0.3918
fourier(ts.total, K = 6)C6-12  -1.88407    1.45620   -1.294    0.1969
---
Signif. codes:  0 '***' 0.001 '**' 0.01 '*' 0.05 '.' 0.1 ' ' 1

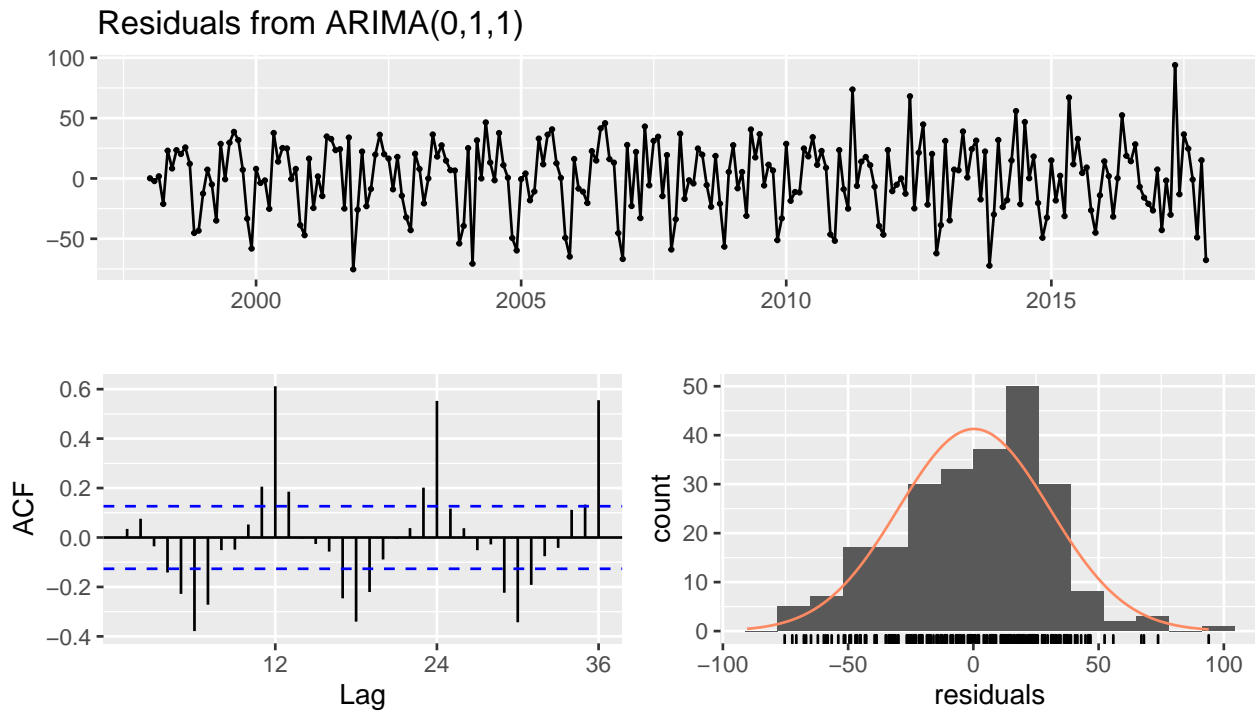
Residual standard error: 23.27 on 247 degrees of freedom
Multiple R-squared:  0.8872,    Adjusted R-squared:  0.8813
F-statistic: 149.5 on 13 and 247 DF,  p-value: < 2.2e-16

[1] 2399.14

```

Arima nao sasonal





Ljung-Box test

data: Residuals from ARIMA(0,1,1)
 Q* = 345.89, df = 23, p-value < 2.2e-16

Model df: 1. Total lags used: 24

	ME	RMSE	MAE	MPE	MAPE	MASE
Training set	0.2769404	30.14828	24.42535	-0.4628617	12.13153	1.127175
Test set	65.2932280	92.55506	73.17336	18.7570963	22.69551	3.376787

	ACF1	Theil's U
Training set	0.03470858	NA
Test set	0.77771207	1.833074

Series: ts.train
 ARIMA(0,1,1)

Coefficients:

ma1
 0.4470
 s.e. 0.0562

sigma² estimated as 916.6: log likelihood=-1153.8
 AIC=2311.6 AICc=2311.65 BIC=2318.56

Training set error measures:

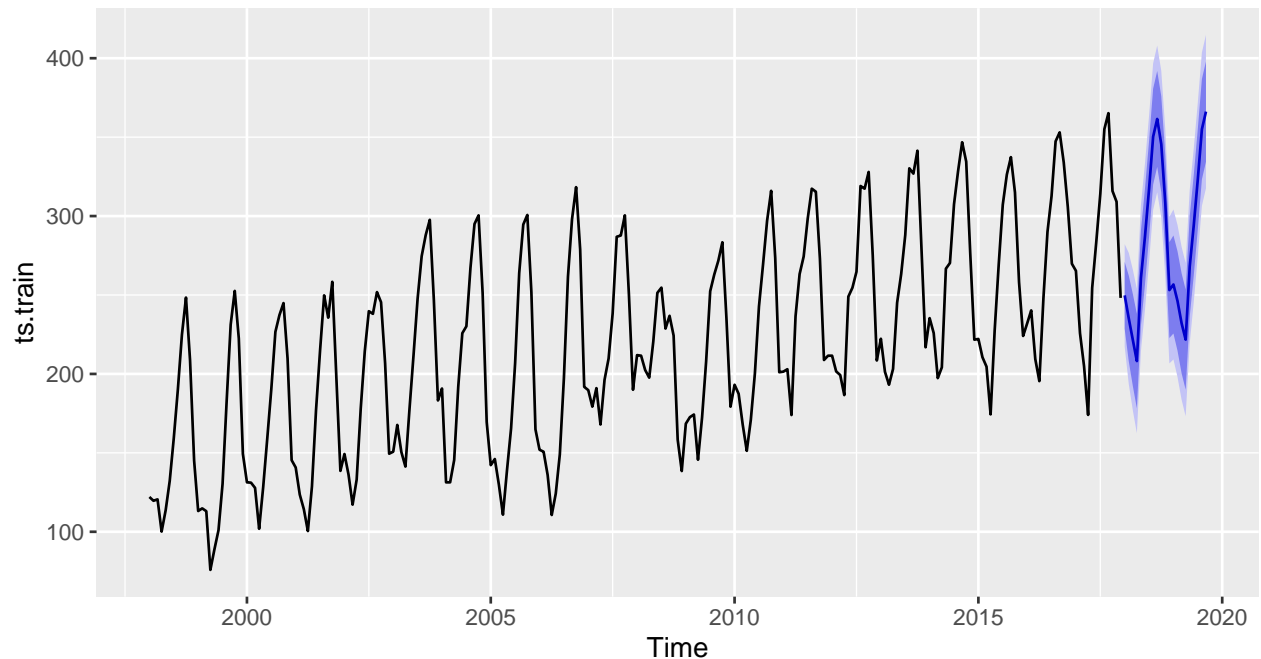
	ME	RMSE	MAE	MPE	MAPE	MASE
Training set	0.2769404	30.14828	24.42535	-0.4628617	12.13153	1.127175

ACF1

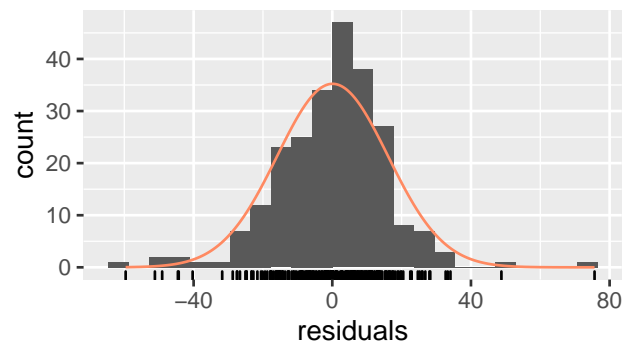
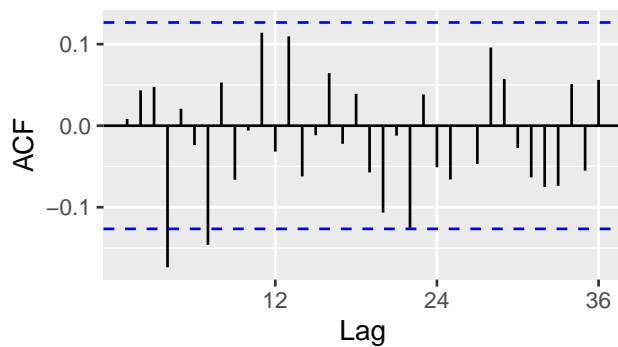
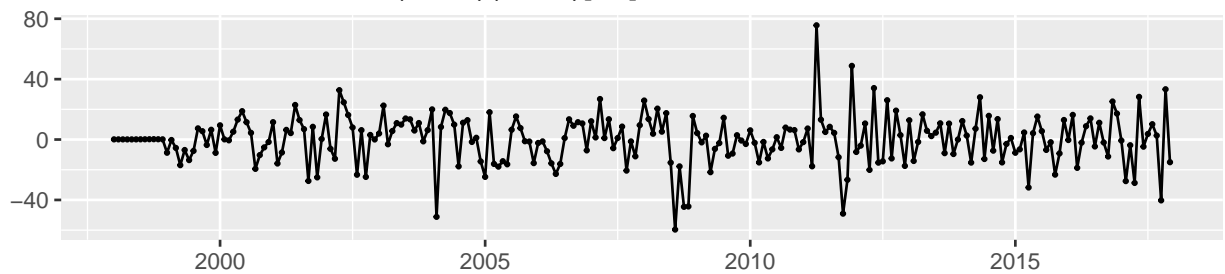
Training set 0.03470858

Arima sasonal

Forecasts from ARIMA(1,0,1)(0,1,2)[12] with drift



Residuals from ARIMA(1,0,1)(0,1,2)[12] with drift



Ljung-Box test

data: Residuals from ARIMA(1,0,1)(0,1,2)[12] with drift
Q* = 34.256, df = 19, p-value = 0.01714

Model df: 5. Total lags used: 24

Series: ts.train
ARIMA(1,0,1)(0,1,2)[12] with drift

Coefficients:

	ar1	ma1	sma1	sma2	drift
	0.6276	0.1693	-0.6984	-0.1545	0.5351
s.e.	0.0713	0.0916	0.0796	0.0781	0.0669

sigma^2 estimated as 273.9: log likelihood=-968.35
AIC=1948.69 AICc=1949.07 BIC=1969.27

Training set error measures:

	ME	RMSE	MAE	MPE	MAPE	MASE
Training set	0.08641124	15.95277	11.6103	-0.3792579	5.795372	0.5357892
ACF1						
Training set	0.008179276					

	ME	RMSE	MAE	MPE	MAPE	MASE
Training set	0.08641124	15.95277	11.61030	-0.3792579	5.795372	0.5357892
Test set	-0.68440888	22.02509	15.75203	-1.7658648	6.058180	0.7269208
ACF1 Theil's U						
Training set	0.008179276		NA			
Test set	0.380699192	0.5806079				

Warning in rbind(accuracy(fit.naive, ts.test)[2,],
accuracy(fit.seasonal_naive, : number of columns of result is not a multiple of
vector length (arg 8)